PROGETTO ESECUTIVO



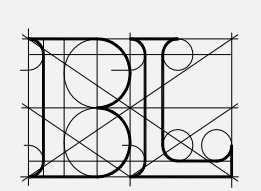
BISIGHIN LORIS - ingegnere

Studio Via G. Matteotti, 61 - 37045 Legnago (VR) tel./fax 0442-600944 e-mail: loris@bisighin.191.it

COMUNE DI SANGUINETTO (VR)

PROGETTO ESECUTIVO SECONDO STRALCIO FUNZIONALE PER I LAVORI DI COMPLETAMENTO DEL PERCORSO CICLOPEDONALE IN VIA DOSSI, NEL COMUNE DI SANGUINETTO (VR)

nome disegno:			n° pratica	comune:	operatore:	data progetto:					
2018 11 23 2355 R	ELAZIONE	- MURO	2355	SANGUINETTO (VR)	EG	23/11/2018					
tavola:	committente:				'	aggiornamenti:					
	COMUNE	E DI SANGUINETTO									
09.2											
00.2	titolo	titolo									
scala:	RFIΔ	RELAZIONE E TABULATI DI CALCOLO - MURO DI SOSTEGNO									
	IVE E/A	NELAZIONE E TABULATI DI CALCOLO - MUNO DI 303 LEGNO									
		timbro e firma:		timbro e firma	a:						
Progettista	a e			Responsabile							
Direttore La				Unico del Procedimento							
				ROSSIGNOLI Geom.							
BISIGHIN Ing. LORIS			VALENTINO								
		Elaborati grafic	i eseguiti co	n AUTOCAD versione 2008 Serie 343-19138548							



Provincia di Verona

COMUNE DI SANGUINETTO

RELAZIONE DI CALCOLO MURO DI SOSTEGNO

PROGETTO: "Progetto esecutivo secondo stralcio funzionale per i lavori di completamento del percorso ciclopedonale in Via Dossi, nel Comune di Sanguinetto (VR)"

COMMITTENTE: Comune di Sanguinetto

Sanguinetto, 23/11/2018

Il Progettista opere in c.a.

(Ing. Loris Bisighin)

Il Direttore lavori opere in c.a.

(Ing. Loris Bisighin)

Studio Tecnico Dott. Ing. LORIS BISIGHIN Via G. Matteotti n.61 - Legnago (VR) Tel/fax: 0442 600944

Indice

1	DESCRIZIONE GENERALE DELL'OPERA	3
2	NORMATIVA DI RIFERIMENTO	4
3	MATERIALI IMPIEGATI E RESISTENZE DI CALCOLO	5
4	TERRENO DI FONDAZIONE	7
5	ANALISI DEI CARICHI	7
6	VALUTAZIONE DELL'AZIONE SISMICA	8
	6.1 Spettri di Progetto per S.L.U. e S.L.D.	8
	6.2 Metodo di Analisi	
	6.3 Valutazione degli spostamenti	
	6.4 Combinazione delle componenti dell'azione sismica	11
	6.5 Eccentricità accidentali	12
7	AZIONI SULLA STRUTTURA	12
	7.1 Stato Limite di Salvaguardia della Vita	12
	7.2 Stato Limite di Danno	14
	7.3 Stati Limite di Esercizio	14
8	CODICE DI CALCOLO IMPIEGATO	16
	8.1 Denominazione	
	8.2 Sintesi delle funzionalità generali	
	8.3 Sistemi di Riferimento	
	8.3.1 Riferimento globale	
	8.3.2 Riferimento locale per travi	17
	8.3.3 Riferimento locale per pareti	
	8.3.4 Riferimento locale per solette e platee	
	8.4 Modello di Calcolo	
9		
	9.1 Verifiche di Resistenza	
	9.1.1 Elementi in C.A	
	9.2 Gerarchia delle Resistenze	
	9.2.1 Elementi in C.A	
	9.2.2 Fondazioni	
	9.3 DETTAGLI STRUTTURALI	
	9.3.1 Travi in c.a	
10		
11		
12	2 VERIFICHE GEOTECNICHE	26

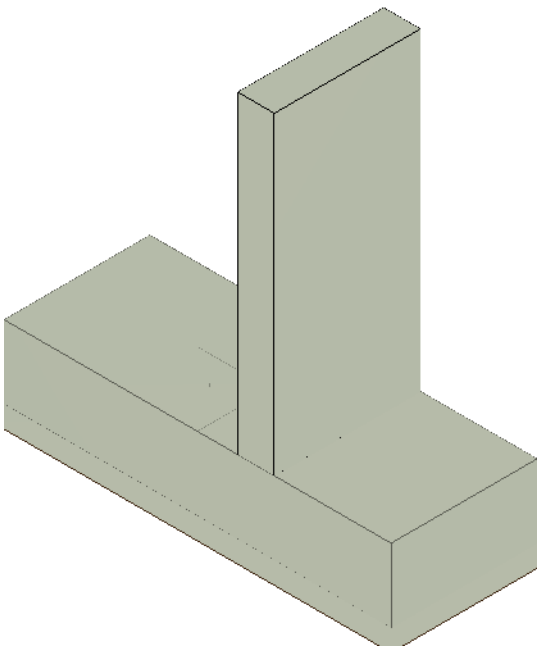
1 DESCRIZIONE GENERALE DELL'OPERA

La presente relazione è realizzata per il calcolo di un muro di sostegno che ha lo scopo di contenere il terreno per la realizzazione di una pista ciclabile. La tipologia di muro impiegata è quella di muro a mensola in c.a.

Vengono riportate di seguito due viste assonometriche contrapposte, allo scopo di consentire una migliore comprensione della struttura oggetto della presente relazione:

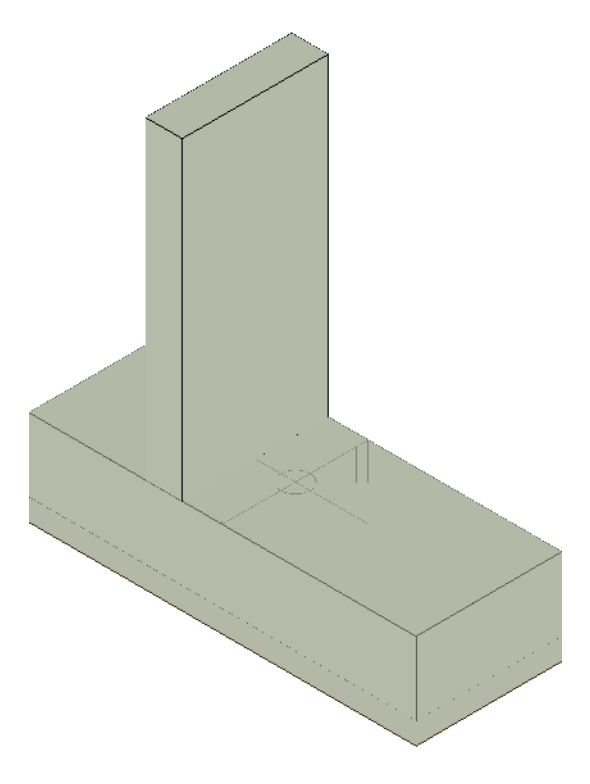
Vista Anteriore

La direzione di visualizzazione (bisettrice del cono ottico), relativamente al sistema di riferimento globale 0,X,Y, Z, ha versore (1;1;-1)



Vista Posteriore

La direzione di visualizzazione (bisettrice del cono ottico), relativamente al sistema di riferimento globale 0,X,Y, Z, ha versore (-1;-1;-1)



2 NORMATIVA DI RIFERIMENTO

Le fasi di analisi e verifica della struttura sono state condotte in accordo alle seguenti disposizioni normative, per quanto applicabili in relazione al criterio di calcolo adottato dal progettista, evidenziato nel prosieguo della presente relazione:

Legge 5 novembre 1971 n. 1086 (G. U. 21 dicembre 1971 n. 321)

"Norme per la disciplina delle opere di conglomerato cementizio armato, normale e precompresso ed a struttura metallica".

Legge 2 febbraio 1974 n. 64 (G. U. 21 marzo 1974 n. 76)

"Provvedimenti per le costruzioni con particolari prescrizioni per le zone sismiche". Indicazioni progettive per le nuove costruzioni in zone sismiche a cura del Ministero per la Ricerca scientifica – Roma 1981.

D. M. Infrastrutture Trasporti 17/01/2018 (G.U. 20/02/2018 n. 42 – Suppl. Ord. n. 8) "Aggiornamento delle *Norme tecniche per le Costruzioni*".

Inoltre, in mancanza di specifiche indicazioni, ad integrazione della norma precedente e per quanto con esse non in contrasto, sono state utilizzate le indicazioni contenute nelle sequenti norme:

D. M. Infrastrutture Trasporti 14 gennaio 2008 (G.U. 4 febbraio 2008 n. 29 – Suppl. Ord.) "Norme tecniche per le Costruzioni".

Circolare 2 febbraio 2009 n. 617 del Ministero delle Infrastrutture e dei Trasporti (G.U. 26 febbraio 2009 n. 27 - Suppl. Ord.)

"Istruzioni per l'applicazione delle 'Norme Tecniche delle Costruzioni' di cui al D.M. 14 gennaio 2008'.

3 MATERIALI IMPIEGATI E RESISTENZE DI CALCOLO

Tutti i materiali strutturali impiegati devono essere muniti di marcatura "CE", ed essere conformi alle prescrizioni del "REGOLAMENTO (UE) N. 305/2011 DEL PARLAMENTO EUROPEO E DEL CONSIGLIO del 9 marzo 2011", in merito ai prodotti da costruzione.

Per la realizzazione dell'opera in oggetto saranno impiegati i seguenti materiali:

MATERIALI CALCESTRUZZO ARMATO

												Caratteristi	che calcest	ruzzo	armato
N _{id}	γk	α _{τ, i}	E	G	C _{Erid}	Stz	R _{ck}	R _{cm}	%R _{ck}	γι	f _{cd}	f _{ctd}	f _{cfm}	N	n Ac
	[N/m³]	[1/°C]	[N/mm²]	[N/mm²]	[%]		[N/mm²]	[N/mm²]			[N/mm²]	[N/mm²]	[N/mm²]		
Cls C25	Cls C25/30_B450C - (C25/30)														
001	25 000	0,000010	31 447	13 103	60	Р	30,00	-	0,85	1,50	14,11	1,19	3,07	15	002

LEGENDA:

 N_{id} Numero identificativo del materiale, nella relativa tabella dei materiali.

 γ_k Peso specifico.

 $lpha_{ au,\,i}$ Coefficiente di dilatazione termica

E Modulo elastico normale.

G Modulo elastico tangenziale

 C_{Erid} Coefficiente di riduzione del Modulo elastico normale per Analisi Sismica $[E_{\text{sisma}} = E \cdot c_{\text{Erid}}]$.

Stz Tipo di situazione: [F] = di Fatto (Esistente); [P] = di Progetto (Nuovo).

 R_{ck} Resistenza caratteristica cubica.

R_{cm} Resistenza media cubica.

 R_{ck} Percentuale di riduzione della R_{ck}

γ_c Coefficiente parziale di sicurezza del materiale.

 $\mathbf{f}_{\mathbf{cd}}$ Resistenza di calcolo a compressione.

f_{ctd} Resistenza di calcolo a trazione.

 $\mathbf{f}_{\mathtt{cfm}}$ Resistenza media a trazione per flessione.

n Ac Identificativo, nella relativa tabella materiali, dell'acciaio utilizzato: [-] = parametro NON significativo per il materiale.

MATERIALI ACCIAIO

														Carat	teristich	ne acciaio
N _{id}		~	_	G	C+-	f _{yk,1} /	£ / £	f _{tk,1} / f _{tk,2} f _{yd,1} / f _{yd,2}	f _{td}		γн	ун2	γнэ,slv	γ́мэ,sle	1	Ум7
INId	Yk	α _{τ, i}	-	u	Stz	f _{yk,2} t _{k,1} / t _{tk,}	1 tk,1/ 1 tk,2			Ys					NCnt	Cnt
	[N/m³]	[1/°C]	[N/mm²]	[N/mm²]		[N/mm²]	[N/mm²]	[N/mm²]	[N/mm²]							
Acciai	o B450C -	(B450C)														
000	70 500	0.000040	040 000	00.760	D	450,00		391,30		4.45						
002	78 500	0,000010	210 000	80 769	1	-	-	-	-	1,15	-	-	-	-	-	-

LEGENDA:

 \mathbf{N}_{id} Numero identificativo del materiale, nella relativa tabella dei materiali.

 γ_k Peso specifico.

 $lpha_{ au,\, ext{i}}$ Coefficiente di dilatazione termica.

E Modulo elastico normale.

G Modulo elastico tangenziale.

Stz Tipo di situazione: [F] = di Fatto (Esistente); [P] = di Progetto (Nuovo).

 $\mathbf{f}_{\mathbf{n},\mathbf{1}}$ Resistenza caratteristica a Rottura (per profili con t \leq 40 mm).

 $f_{tk,2}$ Resistenza caratteristica a Rottura (per profili con 40 mm < t \leq 80 mm).

f_{td} Resistenza di calcolo a Rottura (Bulloni).

 γ_s Coefficiente parziale di sicurezza allo SLV del materiale

 γ_{HI} Coefficiente parziale di sicurezza per instabilità.

γ_{M2} Coefficiente parziale di sicurezza per sezioni tese indebolite.
 γ_{M2} Coefficiente parziale di sicurezza per scorrimento allo SLV (Bulloni).

YMSSEE Coefficiente parziale di sicurezza per scorrimento allo SLE (Bulloni).

γ_M Coefficiente parziale di sicurezza precarico di bulloni ad alta resistenza (Bulloni - NCnt = con serraggio NON controllato; Cnt = con serraggio

controllato). [-] = parametro NON significativo per il materiale.

 $\mathbf{f}_{yk,1}$ Resistenza caratteristica allo snervamento (per profili con t <= 40 mm).

f_{yk2} Resistenza caratteristica allo snervamento (per profili con 40 mm < t ≤ 80 mm).

f_{vd.1} Resistenza di calcolo (per profili con t ≤ 40 mm).

f_{yd,2} Resistenza di calcolo (per profili con 40 mm < t ≤ 80 mm).

NOTE [-] = Parametro non significativo per il materiale.

TENSIONI AMMISSIBILI ALLO SLE DEI VARI MATERIALI

Tensioni ammissibili allo SLE dei vari materia								
Materiale	SL	Tensione di verifica	$\sigma_{ m d,amm}$					
			[N/mm²]					

	Tensioni ammissibili allo SLE dei vari materiali									
Materiale	SL	SL Tensione di verifica								
			[N/mm²]							
Cls C25/30_B450C	Caratteristica(RARA)	Compressione Calcestruzzo	14,94							
	Quasi permanente	Compressione Calcestruzzo	11,21							
Acciaio B450C	Caratteristica(RARA)	Trazione Acciaio	360,00							

LEGENDA:

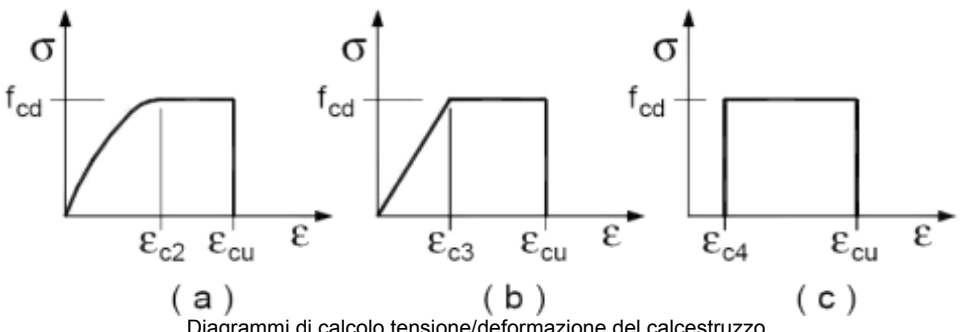
Stato limite di esercizio per cui si eseque la verifica.

Tensione ammissibile per la verifica. $\sigma_{\text{d.amm}}$

I valori dei parametri caratteristici dei suddetti materiali sono riportati anche nei "Tabulati di calcolo", nella relativa sezione.

Tutti i materiali impiegati dovranno essere comunque verificati con opportune prove di laboratorio secondo le prescrizioni della vigente Normativa.

I diagrammi costitutivi degli elementi in calcestruzzo sono stati adottati in conformità alle indicazioni riportate al \$4.1.2.1.2.1 del D.M. 2018; in particolare per le verifiche effettuate a pressoflessione retta e pressoflessione deviata è adottato il modello riportato in fig. (a).



Diagrammi di calcolo tensione/deformazione del calcestruzzo.

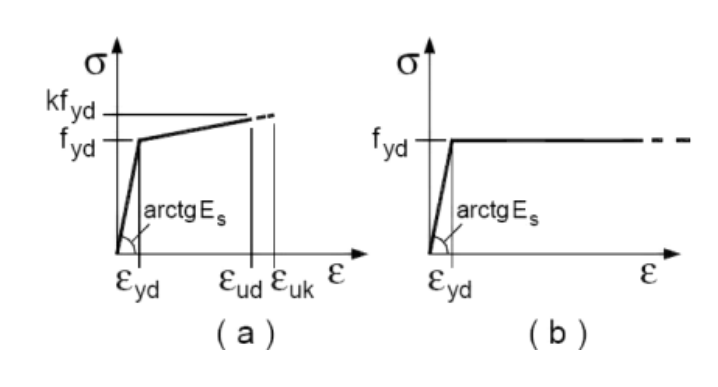
I valori di deformazione assunti sono:

$$\varepsilon_{c2} = 0,0020;$$

 $\varepsilon_{ru2} = 0.0035.$

I diagrammi costitutivi dell'acciaio sono adottati in conformità indicazioni riportate al \$4.1.2.1.2.2 del D.M. 2018; in particolare è adottato il modello elastico perfettamente plastico rappresentato in fig. (b).

La resistenza di calcolo è data da f_{yk}/γ_f . Il coefficiente di sicurezza γ_f si assume pari a 1,15.



4 TERRENO DI FONDAZIONE

Vedasi Tav.8.1 relazione geologica-geotecnica.

5 ANALISI DEI CARICHI

Un'accurata valutazione dei carichi è un requisito imprescindibile di una corretta progettazione, in particolare per le costruzioni realizzate in zona sismica.

Essa, infatti, è fondamentale ai fini della determinazione delle forze sismiche, in quanto incide sulla valutazione delle masse e dei periodi propri della struttura dai quali dipendono i valori delle accelerazioni (ordinate degli spettri di progetto).

La valutazione dei carichi e dei sovraccarichi è stata effettuata in accordo con le disposizioni del punto 3.1 del **D.M. 2018**. In particolare, è stato fatto utile riferimento alle Tabelle 3.1.I e 3.1.II del D.M. 2018, per i pesi propri dei materiali e per la quantificazione e classificazione dei sovraccarichi, rispettivamente.

La valutazione dei carichi permanenti è effettuata sulle dimensioni definitive.

Le analisi effettuate, corredate da dettagliate descrizioni, oltre che nei "<u>Tabulati di calcolo</u>" nella relativa sezione, sono di seguito riportate:

ANALISI CARICHI

									Analis	si carichi
M	т с	Deceminisms del Canina	Tipologie di	Peso Proprio		Permanente NON Strut	turale	Sovraccarico Accidentale		Carico
N _{id}	1. L.	Descrizione del Carico	Carico	Descrizione PP		Descrizione	PNS	Descrizione	SA	Neve
										[N/m²]
001	S	Muro sostegno	Permanenti NON Strutturali	*vedi le relative tabelle dei carichi	-	terreno	40 850	sovraccarico pista ciclabile	10 000	0

LEGENDA:

 \mathbf{N}_{id} Numero identificativo dell'analisi di carico.

T. C. Identificativo del tipo di carico: [S] = Superficiale - [L] = Lineare - [C] = Concentrato.

PP, PNS, SA Valori, rispettivamente, del Peso Proprio, del Sovraccarico Permanente NON strutturale, del Sovraccarico Accidentale. Secondo il tipo di carico indicato nella colonna "T.C." ("S" – "L" – "C"), i valori riportati nelle colonne "PP", "PNS" e "SA", sono espressi in [N/m²] per carichi Superficiali, [N/m] per carichi Lineari, [N] per carichi Concentrati.

6 VALUTAZIONE DELL'AZIONE SISMICA

L'azione sismica è stata valutata in conformità alle indicazioni riportate al §3.2 del D.M. 2018 "Norme tecniche per le Costruzioni".

In particolare il procedimento per la definizione degli spettri di progetto per i vari Stati Limite per cui sono state effettuate le verifiche è stato il seguente:

- definizione della Vita Nominale e della Classe d'Uso della struttura, il cui uso combinato ha portato alla definizione del Periodo di Riferimento dell'azione sismica.
- Individuazione, tramite latitudine e longitudine, dei parametri sismici di base a₀, F₀ e T⁺。 per tutti e quattro gli Stati Limite previsti (SLO, SLD, SLV e SLC); l'individuazione è stata effettuata interpolando tra i 4 punti più vicini al punto di riferimento dell'edificio.
- Determinazione dei coefficienti di amplificazione stratigrafica e topografica.
- Calcolo del periodo T_c corrispondente all'inizio del tratto a velocità costante dello Spettro.

I dati così calcolati sono stati utilizzati per determinare gli Spettri di Progetto nelle verifiche agli Stati Limite considerate.

Si riportano di seguito le coordinate geografiche del sito rispetto al Datum ED50:

Latitudine	Longitudine	Altitudine
[°]	[°]	[m]
45.182500	11.151667	19

6.1 SPETTRI DI PROGETTO PER S.L.U. E S.L.D.

L'edificio è stato progettato per una Vita Nominale pari a 50 e per Classe d'Uso pari a 1.

In base alle indagini geognostiche effettuate si è classificato il **suolo** di fondazione di **categoria C**, cui corrispondono i seguenti valori per i parametri necessari alla costruzione degli spettri di risposta orizzontale e verticale:

							Parametri di p	ericolosità sismica
Stato Limite	a"/g	F _o	T∗,	Cc	T _B	Tc	T _D	S _s
			[s]		[s]	[s]	[2]	
SL0	0.0326	2.527	0.220	1.73	0.127	0.381	1.730	1.50
SLD	0.0343	2.539	0.231	1.70	0.131	0.394	1.737	1.50
SLV	0.0789	2.575	0.301	1.56	0.157	0.470	1.915	1.50
SLC	0.1013	2.576	0.311	1.54	0.160	0.480	2.005	1.50

Per la definizione degli spettri di risposta, oltre all'accelerazione (a_g) al suolo (dipendente dalla classificazione sismica del Comune) occorre determinare il Fattore di Struttura (g).

Il Fattore di struttura q è un fattore riduttivo delle forze elastiche introdotto per tenere conto delle capacità dissipative della struttura che dipende dal sistema costruttivo adottato, dalla Classe di Duttilità e dalla regolarità in altezza.

Si è inoltre assunto il **Coefficiente di Amplificazione Topografica** (S_T) pari a **1,00**.

Tali succitate caratteristiche sono riportate negli allegati "<u>Tabulati di calcolo</u>" al punto "DATI GENERALI ANALISI SISMICA".

Per la struttura in esame sono stati determinati i sequenti valori:

• <u>Stato Limite di salvaquardia della Vita</u>

Fattore di Struttura (q_x) per sisma orizzontale in direzione 1,500;

X:

Fattore di Struttura (q_y) per sisma orizzontale in direzione 1,500;

Υ:

Fattore di Struttura (q_7) per sisma verticale: 1,50.

Di seguito si esplicita il calcolo del fattore di struttura utilizzato per il sisma orizzontale:

	Dir. X	Dir. Y		
Tipologia	A pareti, miste equivalenti a pareti	A pareti, miste equivalenti a pareti		
(§7.4.3.2 D.M. 2018)	A paren, misre equivalent a paren	A paren, misre equivalent a paren		
Tipologia strutturale	con pareti non accoppiate	con pareti non accoppiate		
$\alpha_{\scriptscriptstyle \rm u}/\alpha_{\scriptscriptstyle 1}$	1	1		
k _w	0,50	0,50		
q _o	1,500	1,500		
k _R	1.	00		

Il fattore di struttura è calcolato secondo la relazione (7.3.1) del \$7.3.1 del D.M. 2018:

$$q = q_o \cdot k_R$$
;

dove:

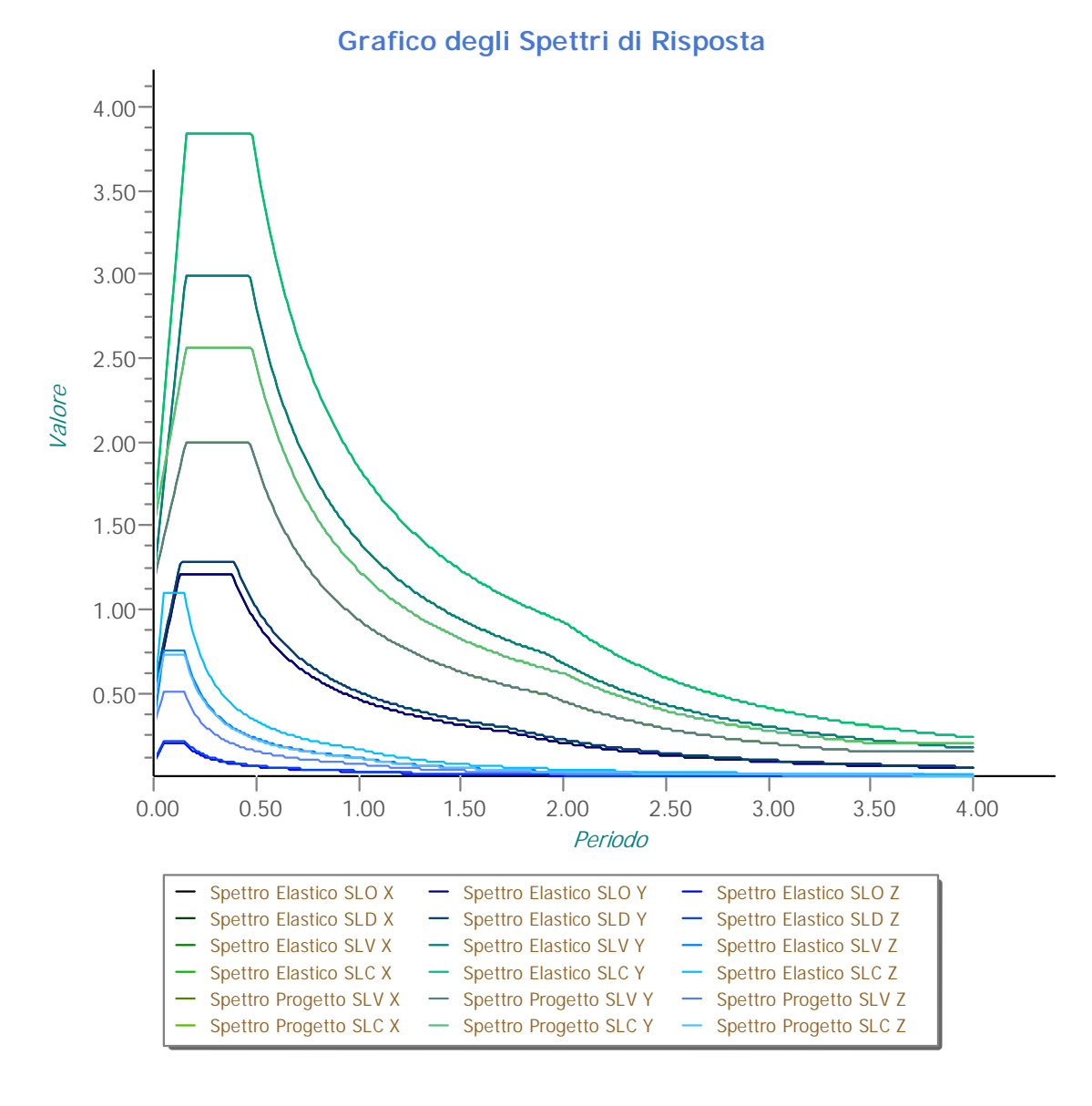
k, è il coefficiente che riflette la modalità di collasso prevalente in sistemi strutturali con pareti.

- q_o è il valore massimo del fattore di struttura che dipende dal livello di duttilità attesa, dalla tipologia strutturale e dal rapporto α_u/α_1 tra il valore dell'azione sismica per il quale si verifica la formazione di un numero di cerniere plastiche tali da rendere la struttura labile e quello per il quale il primo elemento strutturale raggiunge la plasticizzazione a flessione. **NOTA**: il valore proposto di q_o è già ridotto dell'eventuale coefficiente k_w ;
- k_R è un fattore riduttivo che dipende dalle caratteristiche di regolarità in altezza della costruzione, con valore pari ad 1 per costruzioni regolari in altezza e pari a 0,8 per costruzioni non regolari in altezza.
- N.B: Per le costruzioni *regolari in pianta*, qualora non si proceda ad un'analisi non lineare finalizzata alla valutazione del rapporto $\alpha_{\text{u}}/\alpha_{\text{1}}$, per esso possono essere adottati i valori indicati nel §7.4.3.2 del D.M. 2018 per le diverse tipologie costruttive. Per le costruzioni *non regolari in pianta*, si possono adottare valori di $\alpha_{\text{u}}/\alpha_{\text{1}}$ pari alla media tra 1,0 ed i valori di volta in volta forniti per le diverse tipologie costruttive.

Valori massimi del valore di base q₀ del fattore di comportamento allo SLV per costruzioni di calcestruzzo (§ 7.4.3.2 D.M. 2018)(cfr. Tabella 7.3.II D.M. 2018)

Tipologia strutturale	q ₀		
ripotogia strutturate	CD"A"	CD"B"	
Strutture a telaio, a pareti accoppiate, miste (v. §7.4.3.1)	4,5 α _u /α ₁	3,0 α _u /α ₁	
Strutture a pareti non accoppiate (v. §7.4.3.1)	4,0 α _u /α ₁	3,0	
Strutture deformabili torsionalmente (v. §7.4.3.1)	3,0	2,0	
Strutture a pendolo inverso (v. §7.4.3.1)	2,0	1,5	
Strutture a pendolo inverso intelaiate monopiano (v. §7.4.3.1)	3,5	2,5	

Gli spettri utilizzati sono riportati nella successiva figura.



6.2 METODO DI ANALISI

Il calcolo delle azioni sismiche è stato eseguito in analisi dinamica modale, considerando il comportamento della struttura in regime elastico lineare.

Il numero di **modi di vibrazione** considerato **(15)** ha consentito, nelle varie condizioni, di mobilitare le seguenti percentuali delle masse della struttura:

Stato Limite	Direzione Sisma	%
salvaguardia della vita	X	93.3
salvaguardia della vita	Y	95.9
salvaguardia della vita	Z	100.0

Per valutare la risposta massima complessiva di una generica caratteristica E, conseguente alla sovrapposizione dei modi, si è utilizzata una tecnica di combinazione probabilistica definita CQC (Complete Quadratic Combination – Combinazione Quadratica Completa):

$$E = \sqrt{\sum_{i,j=1,n} \rho_{ij} \cdot E_i \cdot E_j} \qquad \qquad \rho_{ij} = \frac{8 \cdot \xi^2 \cdot \left(1 + \beta_{ij}\right) \cdot \beta_{ij}^{3/2}}{\left(1 - \beta_{ij}^2\right)^2 + 4 \cdot \xi^2 \cdot \beta_{ij} \cdot \left(1 + \beta_{ij}\right)^2} \qquad \qquad \beta_{ij} = \frac{T_j}{T_i}$$

dove:

n è il numero di modi di vibrazione considerati;

- ξ è il coefficiente di smorzamento viscoso equivalente espresso in percentuale;
- β_i è il rapporto tra le frequenze di ciascuna coppia i-j di modi di vibrazione.

Le sollecitazioni derivanti da tali azioni sono state composte poi con quelle derivanti da carichi verticali, orizzontali non sismici secondo le varie combinazioni di carico probabilistiche. Il calcolo è stato effettuato mediante un programma agli elementi finiti le cui caratteristiche verranno descritte nel seguito.

Il calcolo degli effetti dell'azione sismica è stato eseguito con riferimento alla struttura spaziale, tenendo cioè conto degli elementi interagenti fra loro secondo l'effettiva realizzazione escludendo i tamponamenti. Non ci sono approssimazioni su tetti inclinati, piani sfalsati o scale, solette, pareti irrigidenti e nuclei.

Si è tenuto conto delle deformabilità taglianti e flessionali degli elementi monodimensionali; muri, pareti, setti, solette sono stati correttamente schematizzati tramite elementi finiti a tre/quattro nodi con comportamento a guscio (sia a piastra che a lastra).

Sono stati considerati sei gradi di libertà per nodo; in ogni nodo della struttura sono state applicate le forze sismiche derivanti dalle masse circostanti.

Le sollecitazioni derivanti da tali forze sono state poi combinate con quelle derivanti dagli altri carichi come prima specificato.

6.3 VALUTAZIONE DEGLI SPOSTAMENTI

Gli spostamenti d_ϵ della struttura sotto l'azione sismica di progetto allo SLV sono stati ottenuti moltiplicando per il fattore μ_d i valori d_{ϵ_e} ottenuti dall'analisi lineare, dinamica o statica, secondo l'espressione sequente:

$$d_E = \pm \mu_d \cdot d_{Ee}$$

dove

$$\begin{array}{ll} \mu_{\scriptscriptstyle d} = q & \text{se } T_{\scriptscriptstyle 1} \geq T_{\scriptscriptstyle C}; \\ \mu_{\scriptscriptstyle d} = 1 + (q-1) \cdot T_{\scriptscriptstyle C} / T_{\scriptscriptstyle 1} & \text{se } T_{\scriptscriptstyle 1} < T_{\scriptscriptstyle C}. \end{array}$$

In ogni caso $\mu_d \leq 5q - 4$.

6.4 COMBINAZIONE DELLE COMPONENTI DELL'AZIONE SISMICA

Le azioni orizzontali dovute al sisma sulla struttura vengono convenzionalmente determinate come agenti separatamente in due direzioni tra loro ortogonali prefissate. In generale, però, le componenti orizzontali del sisma devono essere considerate come agenti simultaneamente. A tale scopo, la combinazione delle componenti orizzontali dell'azione sismica è stata tenuta in conto come seque:

• gli effetti delle azioni dovuti alla combinazione delle componenti orizzontali dell'azione sismica sono stati valutati mediante le sequenti combinazioni:

$$E_{\text{EdX}} \pm 0.30E_{\text{EdY}}$$
 $E_{\text{EdY}} \pm 0.30E_{\text{EdX}}$

dove:

 E_{EdX} rappresenta gli effetti dell'azione dovuti all'applicazione dell'azione sismica lungo l'asse orizzontale X scelto della struttura;

 $E_{\text{\tiny EdY}}$ rappresenta gli effetti dell'azione dovuti all'applicazione dell'azione sismica lungo l'asse

orizzontale Y scelto della struttura.

L'azione sismica verticale deve essere considerata in presenza di: elementi pressoché orizzontali con luce superiore a 20 m, elementi pressoché orizzontali precompressi, elementi a sbalzo pressoché orizzontali con luce maggiore di 5 m, travi che sostengono colonne, strutture isolate.

La combinazione della componente verticale del sisma, qualora portata in conto, con quelle orizzontali è stata tenuta in conto come seque:

• gli effetti delle azioni dovuti alla combinazione delle componenti orizzontali e verticali del sisma sono stati valutati mediante le sequenti combinazioni:

$$E_{EdX} \pm 0.30E_{EdY} \pm 0.30E_{EdZ}$$

$$E_{EdY} \pm 0.30E_{EdX} \pm 0.30E_{EdZ}$$

$$E_{EdZ} \pm 0.30E_{EdX} \pm 0.30E_{EdY}$$

dove:

E_{EdX} e E_{EdY} sono gli effetti dell'azione sismica nelle direzioni orizzontali prima definite;

 E_{EdZ} rappresenta gli effetti dell'azione dovuti all'applicazione della componente verticale dell'azione sismica di progetto.

6.5 ECCENTRICITÀ ACCIDENTALI

Per valutare le eccentricità accidentali, previste in aggiunta all'eccentricità effettiva sono state considerate condizioni di carico aggiuntive ottenute applicando l'azione sismica nelle posizioni del centro di massa di ogni piano ottenute traslando gli stessi, in ogni direzione considerata, di una distanza pari a +/- 5% della dimensione massima del piano in direzione perpendicolare all'azione sismica. Si noti che la distanza precedente, nel caso di distribuzione degli elementi non strutturali fortemente irregolare in pianta, viene raddoppiata ai sensi del § 7.2.3 del D.M. 2018.

7 AZIONI SULLA STRUTTURA

I calcoli e le verifiche sono condotti con il metodo semiprobabilistico degli stati limite secondo le indicazioni del D.M. 2018. I carichi agenti sui solai, derivanti dall'analisi dei carichi, vengono ripartiti dal programma di calcolo in modo automatico sulle membrature (travi, pilastri, pareti, solette, platee, ecc.).

I carichi dovuti ai tamponamenti, sia sulle travi di fondazione che su quelle di piano, sono schematizzati come carichi lineari agenti esclusivamente sulle aste.

Su tutti gli elementi strutturali è inoltre possibile applicare direttamente ulteriori azioni concentrate e/o distribuite (variabili con legge lineare ed agenti lungo tutta l'asta o su tratti limitati di essa).

Le azioni introdotte direttamente sono combinate con le altre (carichi permanenti, accidentali e sisma) mediante le combinazioni di carico di seguito descritte; da esse si ottengono i valori probabilistici da impiegare successivamente nelle verifiche.

7.1 STATO LIMITE DI SALVAGUARDIA DELLA VITA

Le azioni sulla costruzione sono state cumulate in modo da determinare condizioni di carico tali da risultare più sfavorevoli ai fini delle singole verifiche, tenendo conto della probabilità ridotta di intervento simultaneo di tutte le azioni con i rispettivi valori più sfavorevoli, come consentito dalle norme vigenti.

Per gli stati limite ultimi sono state adottate le combinazioni del tipo:

$$\gamma_{G_1} \cdot G_1 + \gamma_{G_2} \cdot G_2 + \gamma_{O_1} \cdot P + \gamma_{O_1} \cdot Q_{K_1} + \gamma_{O_2} \cdot \psi_{O_2} \cdot Q_{K_2} + \gamma_{O_3} \cdot \psi_{O_3} \cdot Q_{K_3} + \dots$$

$$\tag{1}$$

dove:

G1 rappresenta il peso proprio di tutti gli elementi strutturali; peso proprio del terreno, quando pertinente; forze indotte dal terreno (esclusi gli effetti di carichi variabili applicati al terreno); forze risultanti dalla pressione dell'acqua (quando si configurino costanti nel tempo);

G₂ rappresenta il peso proprio di tutti gli elementi non strutturali;

P rappresenta l'azione di pretensione e/o precompressione;

Q azioni sulla struttura o sull'elemento strutturale con valori istantanei che possono risultare sensibilmente diversi fra loro nel tempo:

- di lunga durata: agiscono con un'intensità significativa, anche non continuativamente, per un tempo non trascurabile rispetto alla vita nominale della struttura:
- di breve durata: azioni che agiscono per un periodo di tempo breve rispetto alla vita nominale della struttura;

Qki rappresenta il valore caratteristico della i-esima azione variabile;

γg, γq, γρ coefficienti parziali come definiti nella Tab. 2.6.1 del D.M. 2018;

Ψοι sono i coefficienti di combinazione per tenere conto della ridotta probabilità di concomitanza delle azioni variabili con i rispettivi valori caratteristici.

Le **10 combinazioni** risultanti sono state costruite a partire dalle sollecitazioni caratteristiche calcolate per ogni condizione di carico elementare: ciascuna condizione di carico accidentale, a rotazione, è stata considerata sollecitazione di base (Q_{k1} nella formula precedente).

I coefficienti relativi a tali combinazioni di carico sono riportati negli allegati "<u>Tabulati di calcolo</u>". In zona sismica, oltre alle sollecitazioni derivanti dalle generiche condizioni di carico statiche, devono essere considerate anche le sollecitazioni derivanti dal sisma. L'azione sismica è stata combinata con le altre azioni secondo la sequente relazione:

$$G_1+G_2+P+E+\sum_i \psi_{2i}\cdot Q_{ki}$$

dove:

E rappresenta l'azione sismica per lo stato limite in esame;

G₁ rappresenta peso proprio di tutti gli elementi strutturali;

G₂ rappresenta il peso proprio di tutti gli elementi non strutturali;

P rappresenta l'azione di pretensione e/o precompressione;

 Ψ^{2i} coefficiente di combinazione delle azioni variabili Q_i

Qki valore caratteristico dell'azione variabile Q.

Gli effetti dell'azione sismica sono valutati tenendo conto delle masse associate ai seguenti carichi gravitazionali:

$$G_K + \Sigma_i (\psi_{2i} \cdot Q_{ki}).$$

I valori dei coefficienti ψ_{2i} sono riportati nella sequente tabella:

Categoria/Azione	ψ_{2i}
Categoria A – Ambienti ad uso residenziale	0,3
Categoria B - Uffici	0,3
Categoria C – Ambienti suscettibili di affollamento	0,6
Categoria D - Ambienti ad uso commerciale	0,6
Categoria E – Biblioteche, archivi, magazzini e ambienti ad uso industriale	0,8

Categoria F – Rimesse e parcheggi (per autoveicoli di peso ≤ 30 kN)	0,6
Categoria G - Rimesse e parcheggi (per autoveicoli di peso > 30 kN)	0,3
Categoria H - Coperture	0,0
Categoria I - Coperture praticabili	*
Categoria K - Coperture per usi speciali (impianti, eliporti,)	*
Vento	0,0
Neve (a quota ≤ 1000 m s.l.m.)	0,0
Neve (a quota > 1000 m s.l.m.)	0,2
Variazioni termiche	0,0
* "Da valutarsi caso per caso"	

Le verifiche strutturali e geotecniche delle fondazioni, sono state effettuate con l'**Approccio 2** come definito al §2.6.1 del D.M. 2018, attraverso la combinazione **A1+M1+R3**. Le azioni sono state amplificate tramite i coefficienti della colonna A1 definiti nella Tab. 6.2.I del D.M. 2018.

I valori di resistenza del terreno sono stati ridotti tramite i coefficienti della colonna M1 definiti nella Tab. 6.2.II del D.M. 2018.

I valori calcolati delle resistenze totali dell'elemento strutturale sono stati divisi per i coefficienti R3 della Tab. 6.4.1 del D.M. 2018 per le fondazioni superficiali.

Si è quindi provveduto a progettare le armature di ogni elemento strutturale per ciascuno dei valori ottenuti secondo le modalità precedentemente illustrate. Nella sezione relativa alle verifiche dei "*Tabulati di calcolo*" in allegato sono riportati, per brevità, i valori della sollecitazione relativi alla combinazione cui corrisponde il minimo valore del coefficiente di sicurezza.

7.2 STATO LIMITE DI DANNO

L'azione sismica, ottenuta dallo spettro di progetto per lo Stato Limite di Danno, è stata combinata con le altre azioni mediante una relazione del tutto analoga alla precedente:

$$G_1+G_2+P+E+\sum_i \psi_{2i}\cdot Q_{ki}$$

dove:

- E rappresenta l'azione sismica per lo stato limite in esame;
- G₁ rappresenta peso proprio di tutti gli elementi strutturali;
- G_2 rappresenta il peso proprio di tutti gli elementi non strutturali;
- P rappresenta l'azione di pretensione e/o precompressione;
- Ψ^{2i} coefficiente di combinazione delle azioni variabili Q_i ;
- Qki valore caratteristico dell'azione variabile Qi.

Gli effetti dell'azione sismica sono valutati tenendo conto delle masse associate ai seguenti carichi gravitazionali:

$$G_K + \Sigma_i (\psi_{2i} \cdot Q_{ki}).$$

I valori dei coefficienti ψ_{2i} sono riportati nella tabella di cui allo SLV.

7.3 STATI LIMITE DI ESERCIZIO

Allo Stato Limite di Esercizio le sollecitazioni con cui sono state semiprogettate le aste in c.a. sono state ricavate applicando le formule riportate nel D.M. 2018 al §2.5.3. Per le verifiche agli stati limite di esercizio, a seconda dei casi, si fa riferimento alle seguenti combinazioni di carico:

гага	freauente	quasi permanente

$$\sum_{j \ge 1} G_{kj} + P + Q_{k1} + \sum_{i > 1} \psi_{0i} \cdot Q_{ki} \qquad \sum_{j \ge 1} G_{kj} + P + \psi_{11} \cdot Q_{k1} + \sum_{i > 1} \psi_{2i} \cdot Q_{ki} \qquad \sum_{j \ge 1} G_{kj} + P + \sum_{i > 1} \psi_{2i} \cdot Q_{ki}$$

dove:

Gkj: valore caratteristico della j-esima azione permanente;

Pkh: valore caratteristico della h-esima deformazione impressa;

Oki: valore caratteristico dell'azione variabile di base di ogni combinazione;

Qki: valore caratteristico della i-esima azione variabile;

ψο: coefficiente atto a definire i valori delle azioni ammissibili di durata breve ma ancora significativi nei riguardi della possibile concomitanza con altre azioni variabili;

ψω: coefficiente atto a definire i valori delle azioni ammissibili ai frattili di ordine 0,95 delle distribuzioni dei valori istantanei;

 ψ_{2i} : coefficiente atto a definire i valori quasi permanenti delle azioni ammissibili ai valori medi delle distribuzioni dei valori istantanei.

Ai coefficienti ψ_{0i} , ψ_{1i} , ψ_{2i} sono attribuiti i seguenti valori:

Azione	Ψ0i	ψ 1i	ψ 2i
Categoria A - Ambienti ad uso residenziale	0,7	0,5	0,3
Categoria B – Uffici	0,7	0,5	0,3
Categoria C – Ambienti suscettibili di affollamento	0,7	0,7	0,6
Categoria D - Ambienti ad uso commerciale	0,7	0,7	0,6
Categoria E – Biblioteche, archivi, magazzini e ambienti ad uso industriale	1,0	0,9	0,8
Categoria F – Rimesse e parcheggi (per autoveicoli di peso ≤ 30 kN)	0,7	0,7	0,6
Categoria G – Rimesse e parcheggi (per autoveicoli di peso > 30 kN)	0,7	0,5	0,3
Categoria H - Coperture	0,0	0,0	0,0
Vento	0,6	0,2	0,0
Neve (a quota ≤ 1000 m s.l.m.)	0,5	0,2	0,0
Neve (a quota > 1000 m s.l.m.)	0,7	0,5	0,2
Variazioni termiche	0,6	0,5	0,0

In maniera analoga a quanto illustrato nel caso dello SLU le combinazioni risultanti sono state costruite a partire dalle sollecitazioni caratteristiche calcolate per ogni condizione di carico; a turno ogni condizione di carico accidentale è stata considerata sollecitazione di base $[Q_{k1}$ nella formula (1)], con ciò dando origine a tanti valori combinati. Per ognuna delle combinazioni ottenute, in funzione dell'elemento (trave, pilastro, etc...) sono state effettuate le verifiche allo SLE (tensioni, deformazioni e fessurazione).

Negli allegati "<u>Tabulati Di Calcolo</u>" sono riportanti i coefficienti relativi alle combinazioni di calcolo generate relativamente alle combinazioni di azioni "Quasi Permanente" (1), "Frequente" (1) e "Rara" (1).

Nelle sezioni relative alle verifiche allo SLE dei citati tabulati, inoltre, sono riportati i valori delle sollecitazioni relativi alle combinazioni che hanno originato i risultati più gravosi.

8 CODICE DI CALCOLO IMPIEGATO

8.1 DENOMINAZIONE

Nome del Software	EdiLus					
Versione	BIM(d)					
Caratteristiche del Software	Software per il calcolo di strutture agli elementi finiti per Windows					
Numero di serie	85051162					
Intestatario Licenza	BISIGHIN ing. LORIS					
Produzione e Distribuzione	ACCA software S.p.A.					
	Contrada Rosole 13 83043 BAGNOLI IRPINO (AV) – Italy					
	Tel. 0827/69504 r.a. – Fax 0827/601235 e-mail: info@acca.it – Internet: www.acca.it					

8.2 SINTESI DELLE FUNZIONALITÀ GENERALI

Il pacchetto consente di modellare la struttura, di effettuare il dimensionamento e le verifiche di tutti gli elementi strutturali e di generare gli elaborati grafici esecutivi.

È una procedura integrata dotata di tutte le funzionalità necessarie per consentire il calcolo completo di una struttura mediante il metodo degli elementi finiti (FEM); la modellazione della struttura è realizzata tramite elementi Beam (travi e pilastri) e Shell (platee, pareti, solette, setti, travi-parete).

L'input della struttura avviene per oggetti (travi, pilastri, solai, solette, pareti, etc.) in un ambiente grafico integrato; il modello di calcolo agli elementi finiti, che può essere visualizzato in qualsiasi momento in una apposita finestra, viene generato dinamicamente dal software.

Apposite funzioni consentono la creazione e la manutenzione di archivi Sezioni, Materiali e Carichi; tali archivi sono generali, nel senso che sono creati una tantum e sono pronti per ogni calcolo, potendoli comunque integrare/modificare in ogni momento.

L'utente non può modificare il codice ma soltanto eseguire delle scelte come:

- definire i vincoli di estremità per ciascuna asta (vincoli interni) e gli eventuali vincoli nei nodi (vincoli esterni);
- modificare i parametri necessari alla definizione dell'azione sismica;
- definire condizioni di carico;
- definire gli impalcati come rigidi o meno.

Il programma è dotato di un manuale tecnico ed operativo. L'assistenza è effettuata direttamente dalla casa produttrice, mediante linea telefonica o e-mail.

Il calcolo si basa sul solutore agli elementi finiti **MICROSAP** prodotto dalla società **TESYS srl**. La scelta di tale codice è motivata dall'elevata affidabilità dimostrata e dall'ampia documentazione a disposizione, dalla quale risulta la sostanziale uniformità dei risultati ottenuti su strutture standard con i risultati internazionalmente accettati ed utilizzati come riferimento.

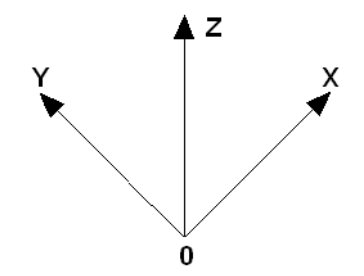
Tutti i risultati del calcolo sono forniti, oltre che in formato numerico, anche in formato grafico permettendo così di evidenziare agevolmente eventuali incongruenze.

Il programma consente la stampa di tutti i dati di input, dei dati del modello strutturale utilizzato, dei risultati del calcolo e delle verifiche dei diagrammi delle sollecitazioni e delle deformate.

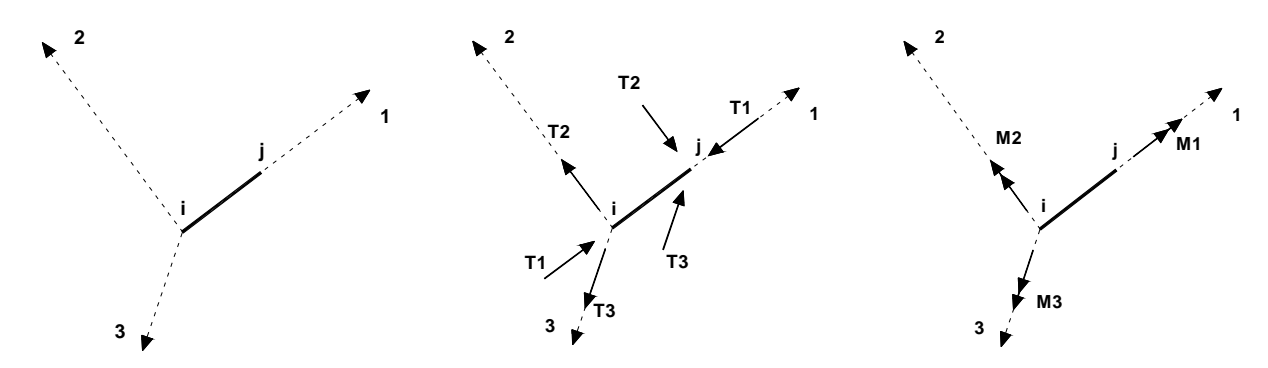
8.3 SISTEMI DI RIFERIMENTO

8.3.1 RIFERIMENTO GLOBALE

Il sistema di riferimento globale, rispetto al quale va riferita l'intera struttura, è costituito da una terna di assi cartesiani sinistrorsa O, X, Y, Z (X, Y, e Z sono disposti e orientati rispettivamente secondo il pollice, l'indice ed il medio della mano destra, una volta posizionati questi ultimi a 90° tra loro).



8.3.2 RIFERIMENTO LOCALE PER TRAVI



L'elemento Trave è un classico elemento strutturale in grado di ricevere Carichi distribuiti e Carichi Nodali applicati ai due nodi di estremità; per effetto di tali carichi nascono, negli estremi, sollecitazioni di taglio, sforzo normale, momenti flettenti e torcenti.

Definiti i e j (nodi iniziale e finale della Trave) viene individuato un sistema di assi cartesiani 1–2–3 locale all'elemento, con origine nel Nodo i così composto:

- asse 1 orientato dal nodo i al nodo j;
- assi 2 e 3 appartenenti alla sezione dell'elemento e coincidenti con gli assi principali d'inerzia della sezione stessa.

Le sollecitazioni verranno fornite in riferimento a tale sistema di riferimento:

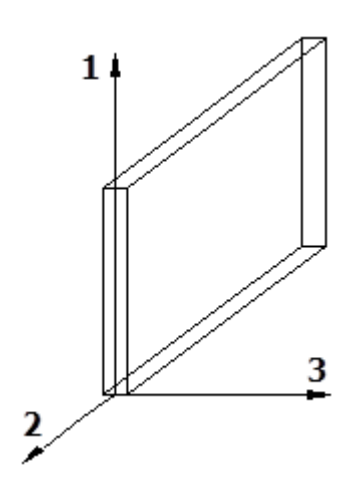
- Sollecitazione di Trazione o Compressione T₁ (agente nella direzione i-j);
- 2. Sollecitazioni taglianti T_2 e T_3 , agenti nei due piani 1–2 e 1–3, rispettivamente secondo l'asse 2 e l'asse 3;
- 3. Sollecitazioni che inducono flessione nei piani 1–3 e 1–2 (M_2 e M_3);
- 4. Sollecitazione torcente M₁.

8.3.3 RIFERIMENTO LOCALE PER PARETI

Una parete è costituita da una sequenza di setti; ciascun setto è caratterizzato da un sistema di riferimento locale 1-2-3 così individuato:

- asse 1, coincidente con l'asse globale Z;
- asse 2, parallelo e discorde alla linea d'asse della traccia del setto in pianta;
- asse 3, ortogonale al piano della parete, che completa la terna levogira.

Su ciascun setto l'utente ha la possibilità di applicare uno o più carichi uniformemente distribuiti comunque orientati nello spazio; le componenti di tali carichi possono essere fornite, a discrezione dell'utente, rispetto al riferimento globale X,Y,Z oppure rispetto al riferimento locale 1,2,3 appena definito.



Si rende necessario, a questo punto, meglio precisare le modalità con cui EdiLus restituisce i risultati di calcolo.

Nel modello di calcolo agli elementi finiti ciascun setto è discretizzato in una serie di elementi tipo "shell" interconnessi; il solutore agli elementi finiti integrato nel programma EdiLus, definisce un riferimento locale per ciascun elemento shell e restituisce i valori delle tensioni esclusivamente rispetto a tali riferimenti.

Il software EdiLus provvede ad omogeneizzare tutti i valori riferendoli alla terna 1–2–3. Tale operazione consente, in fase di input, di ridurre al mimino gli errori dovuti alla complessità d'immissione dei dati stessi ed allo stesso tempo di restituire all'utente dei risultati facilmente interpretabili.

Tutti i dati cioè, sia in fase di input che in fase di output, sono organizzati secondo un criterio razionale vicino al modo di operare del tecnico e svincolato dal procedimento seguito dall'elaboratore elettronico.

In tal modo ad esempio, il significato dei valori delle tensioni può essere compreso con immediatezza non solo dal progettista che ha operato con il programma ma anche da un tecnico terzo non coinvolto nell'elaborazione; entrambi, così, potranno controllare con facilità dal tabulato di calcolo, la congruità dei valori riportati.

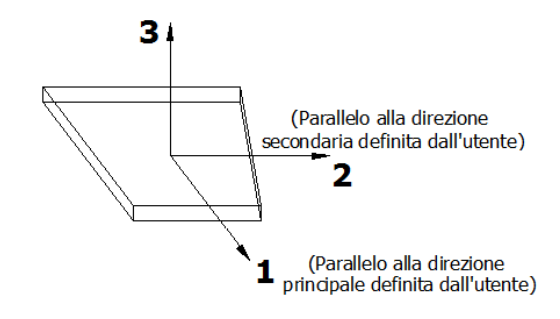
Un'ultima notazione deve essere riservata alla modalità con cui il programma fornisce le armature delle pareti, con riferimento alla faccia anteriore e posteriore.

La faccia anteriore è quella di normale uscente concorde all'asse 3 come prima definito o, identicamente, quella posta alla destra dell'osservatore che percorresse il bordo superiore della parete concordemente al verso di tracciamento.

8.3.4 RIFERIMENTO LOCALE PER SOLETTE E PLATEE

Ciascuna soletta e platea è caratterizzata da un sistema di riferimento locale 1,2,3 così definito:

- asse 1, coincidente con la direzione principale di armatura;
- asse 2, coincidente con la direzione secondaria di armatura;
- asse 3, ortogonale al piano della parete, che completa la terna levogira.



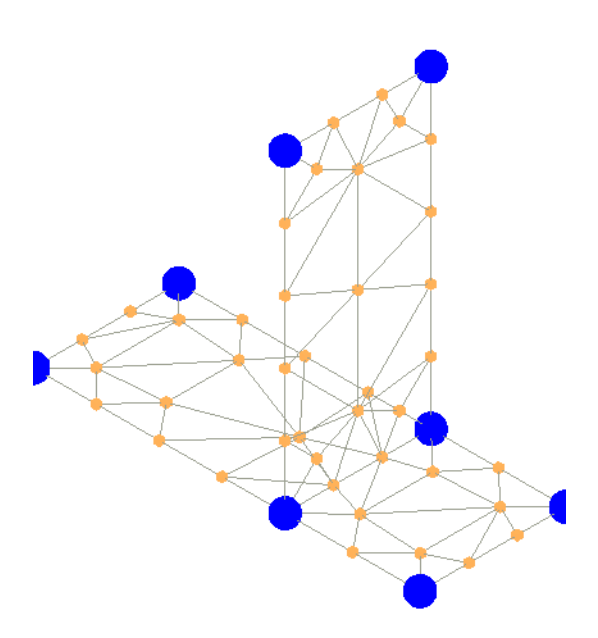
8.4 MODELLO DI CALCOLO

Il modello della struttura viene creato automaticamente dal codice di calcolo, individuando i vari elementi strutturali e fornendo le loro caratteristiche geometriche e meccaniche.

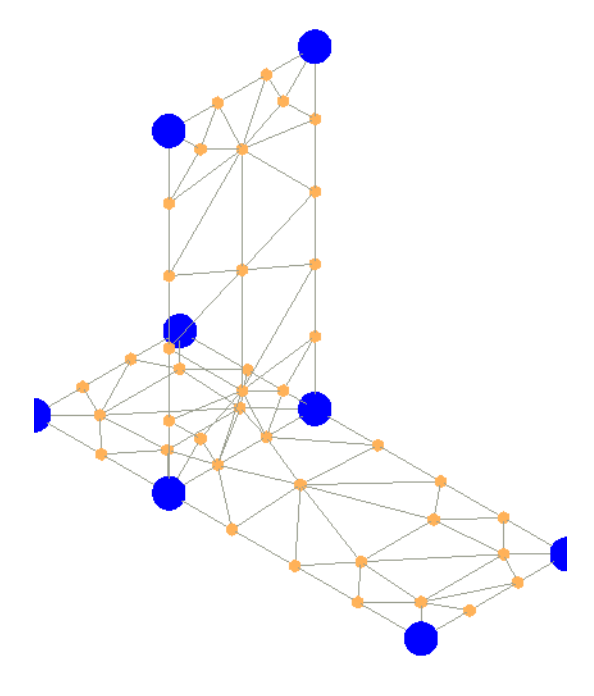
Viene definita un'opportuna numerazione degli elementi (nodi, aste, shell) costituenti il modello, al fine di individuare celermente ed univocamente ciascun elemento nei "*Tabulati di calcolo*".

Qui di seguito è fornita una rappresentazione grafica dettagliata della discretizzazione operata con evidenziazione dei nodi e degli elementi.

Vista Anteriore



Vista Posteriore



Dalle illustrazioni precedenti si evince come le aste, sia travi che pilastri, siano schematizzate con un tratto flessibile centrale e da due tratti (braccetti) rigidi alle estremità. I nodi vengono posizionati sull'asse verticale dei pilastri, in corrispondenza dell'estradosso della trave più alta che in esso si collega. Tramite i braccetti i tratti flessibili sono quindi collegati ad esso.

In questa maniera il nodo risulta perfettamente aderente alla realtà poiché vengono presi in conto tutti gli eventuali disassamenti degli elementi con gli effetti che si possono determinare, quali momenti flettenti/torcenti aggiuntivi.

Le sollecitazioni vengono determinate, com'è corretto, solo per il tratto flessibile. Sui tratti rigidi, infatti, essendo (teoricamente) nulle le deformazioni le sollecitazioni risultano indeterminate.

Questa schematizzazione dei nodi viene automaticamente realizzata dal programma anche quando il nodo sia determinato dall'incontro di più travi senza il pilastro, o all'attacco di travi/pilastri con elementi shell.

9 PROGETTO E VERIFICA DEGLI ELEMENTI STRUTTURALI

La verifica degli elementi allo SLU avviene col seguente procedimento:

- si costruiscono le combinazioni non sismiche in base al D.M. 2018, ottenendo un insieme di sollecitazioni;
- si combinano tali sollecitazioni con quelle dovute all'azione del sisma secondo quanto indicato nel \$2.5.3, relazione (2.5.5) del D.M. 2018;
- per sollecitazioni semplici (flessione retta, taglio, etc.) si individuano i valori minimo e massimo
 con cui progettare o verificare l'elemento considerato; per sollecitazioni composte
 (pressoflessione retta/deviata) vengono eseguite le verifiche per tutte le possibili combinazioni
 e solo a seguito di ciò si individua quella che ha originato il minimo coefficiente di sicurezza.

9.1 VERIFICHE DI RESISTENZA

9.1.1 ELEMENTI IN C.A.

Illustriamo, in dettaglio, il procedimento seguito in presenza di pressoflessione deviata (pilastri e trave di sezione generica):

• per tutte le terne Mx, My, N, individuate secondo la modalità precedentemente illustrata, si calcola il coefficiente di sicurezza in base alla formula 4.1.19 del D.M. 2018, effettuando due verifiche a pressoflessione retta con la seguente formula:

$$\left(\frac{M_{Ex}}{M_{Rx}}\right)^{\alpha} + \left(\frac{M_{Ey}}{M_{Rv}}\right)^{\alpha} \leq 1$$

dove:

 M_{Ex} , M_{Ey} sono i valori di calcolo delle due componenti di flessione retta dell'azione attorno agli assi di flessione X ed Y del sistema di riferimento locale;

 M_{Rx} , M_{Ry} sono i valori di calcolo dei momenti resistenti di pressoflessione retta corrispondenti allo sforzo assiale N_{Ed} valutati separatamente attorno agli assi di flessione.

L'esponente α può dedursi in funzione della geometria della sezione, della percentuale meccanica dell'armatura e della sollecitazione di sforzo normale agente.

 se per almeno una di queste terne la relazione 4.1.19 non è rispettata, si incrementa l'armatura variando il diametro delle barre utilizzate e/o il numero delle stesse in maniera iterativa fino a quando la suddetta relazione è rispettata per tutte le terne considerate. Sempre quanto concerne il progetto degli elementi in c.a. illustriamo in dettaglio il procedimento seguito per le travi verificate/semiprogettate a pressoflessione retta:

- per tutte le coppie Mx, N, individuate secondo la modalità precedentemente illustrata, si calcola il coefficiente di sicurezza in base all'armatura adottata;
- se per almeno una di queste coppie esso è inferiore all'unità, si incrementa l'armatura variando il diametro delle barre utilizzate e/o il numero delle stesse in maniera iterativa fino a quando il coefficiente di sicurezza risulta maggiore o al più uguale all'unità per tutte le coppie considerate.

Nei "<u>Tabulati di calcolo</u>", per brevità, non potendo riportare una così grossa mole di dati, si riporta la terna Mx, My, N, o la coppia Mx, N che ha dato luogo al minimo coefficiente di sicurezza.

Una volta semiprogettate le armature allo SLU, si procede alla verifica delle sezioni allo Stato Limite di Esercizio con le sollecitazioni derivanti dalle combinazioni rare, frequenti e quasi permanenti; se necessario, le armature vengono integrate per far rientrare le tensioni entro i massimi valori previsti.si procede alle verifiche alla deformazione, quando richiesto, ed alla fessurazione che, come è noto, sono tese ad assicurare la durabilità dell'opera nel tempo.

9.1.1.2 Fondazioni superficiali

Le metodologie, i modelli usati ed i risultati del calcolo del *carico limite* sono esposti nella relazione GEOTECNICA.

9.2 GERARCHIA DELLE RESISTENZE

9.2.1 ELEMENTI IN C.A.

Relativamente agli elementi in c.a., sono state applicate le disposizioni contenute al §7.4.4 del D.M. 2018. Più in particolare:

- per le **travi**, al fine di escludere la formazione di meccanismi inelastici dovuti al **taglio**, le sollecitazioni di calcolo si ottengono sommando il contributo dovuto ai carichi gravitazionali agenti sulla trave, considerata incernierata agli estremi, alle sollecitazioni di taglio corrispondenti alla formazione delle cerniere plastiche nella trave e prodotte dai momenti resistenti delle due sezioni di estremità, amplificati del fattore di sovraresistenza γ_{Rd} assunto pari, rispettivamente, ad 1,20 per strutture in CD"A", ad 1,10 per strutture in CD"B". La verifica di resistenza è esequita secondo le indicazioni del par. 7.4.4.1.1 D.M. 2018.
- per i pilastri, al fine di scongiurare l'attivazione di meccanismi fragili globali, come il meccanismo di "piano debole" che comporta la plasticizzazione, anticipata rispetto alle travi, di gran parte dei pilastri di un piano, il progetto a *flessione* delle zone dissipative dei pilastri è effettuato considerando le sollecitazioni corrispondenti alla resistenza delle zone dissipative delle travi amplificata mediante il coefficiente γ_{Rd} che vale 1,3 in CD"A" e 1,3 per CD"B". In tali casi, generalmente, il meccanismo dissipativo prevede la localizzazione delle cerniere alle estremità delle travi e le sollecitazioni di progetto dei pilastri possono essere ottenute a partire dalle resistenze d'estremità delle travi che su di essi convergono, facendo in modo che, per ogni nodo trave-pilastro ed ogni direzione e verso dell'azione sismica, la resistenza complessiva dei pilastri sia maggiore della resistenza complessiva delle travi amplificata del coefficiente γ_{Rd}, in accordo con la formula (7.4.4) del D.M. 2018. Le verifiche di resistenza sono eseguite secondo le indicazioni del par. 7.4.4.2.1 D.M. 2018.

Al fine di escludere la formazione di meccanismi inelastici dovuti al *taglio*, le sollecitazioni di calcolo da utilizzare per le verifiche ed il dimensionamento delle armature si ottengono dalla condizione di equilibrio del pilastro soggetto all'azione dei momenti resistenti nelle sezioni di estremità superiore ed inferiore secondo l'espressione (7.4.5). Le verifiche di resistenza sono eseguite secondo le indicazioni del par. 7.4.4.2.1.

- per i nodi trave-pilastro, si deve verificare che la resistenza del nodo sia tale da assicurare che non pervenga a rottura prima delle zone della trave e del pilastro ad esso adiacente.
 L'azione di taglio, agente in direzione orizzontale per le varie direzioni del sisma, nel nucleo di calcestruzzo del nodo è calcolata secondo l'espressione (7.4.6) per i nodi interni e (7.4.7) per quelli esterni. Le verifiche di resistenza sono eseguite invece secondo le indicazioni del §7.4.4.3.1 D.M. 2018.
- per i setti sismo resistenti, le sollecitazioni di calcolo sono determinate secondo quanto indicato nel par. 7.4.4.5 D.M. 2018 Le verifiche di resistenza sono eseguite invece secondo le indicazioni del par. 7.4.4.5.1 D.M. 2018.

9.2.2 FONDAZIONI

Per quanto riguarda la struttura di fondazione sono applicate le disposizioni contenute al §7.2.5 del D.M. 2018. Più in particolare:

- le azioni trasmesse in fondazione derivano dall'analisi del comportamento dell'intera struttura, condotta esaminando la sola struttura in elevazione alla quale sono applicate le azioni statiche e sismiche;
- il dimensionamento della struttura di fondazione e la verifica di sicurezza del complesso fondazione-terreno sono eseguite, nell'ipotesi di comportamento strutturale dissipativo, assumendo come azioni in fondazione quelle trasferite dagli elementi soprastanti amplificate di un coefficiente γ_{Rd} pari a 1,1 in CD"B" e 1,3 in CD"A".

I risultati delle suddette verifiche sono riportate nei "Tabulati di calcolo".

9.3 DETTAGLI STRUTTURALI

Il progetto delle strutture è stato condotto rispettando i dettagli strutturali previsti dal D.M. 2018, nel seguito illustrati. Il rispetto dei dettagli può essere evinto, oltreché dagli elaborati grafici, anche dalle verifiche riportate nei tabulati allegati alla presente relazione.

9.3.1 TRAVI IN C.A.

Le armature degli elementi trave sono state dimensionati seguendo i dettagli strutturali previsti al punto 4.1.6.1.1 del D.M. 2018:

$$A_{s} \ge A_{s,\min} = \max \left\{ 0.26 \frac{f_{ctm}}{f_{yk}} b_{t} d; 0.0013 b_{t} d \right\}$$

$$\max \left\{ A_{s}; A'_{s} \right\} \le A_{s,\max} = 0.04 A_{c}$$
[TR-C4-B]

$$A_{st} \ge A_{st,\min} = 1.5b \, mm^2 / m$$
 [TR-C4-C]

$$p_{st} \ge p_{st,\min} = \min\{33,3cm;0,8d\}$$
 [TR-C4-D]

$$A_{st} \ge 0.5A_{sw}$$
 [TR-C4-E]

$$p_{st} \ge 15\Phi$$
 [TR-C4-F]

dove:

A_s e A'_s sono le aree di armature tese e compresse;

- f_{ctm} è la resistenza a trazione media del cls;
- f_{vk} è la resistenza caratteristica allo snervamento;
- b_t è la larghezza media della zona tesa della trave (pari alla larghezza della trave o dell'anima nel caso di sezioni a T);
- d è l'altezza utile della trave;
- b è lo spessore minimo dell'anima in mm;
- p_{st} è il passo delle staffe;
- A_c è l'area della sezione di cls;
- A_{st} è l'area delle staffe;
- A_{sw} è l'area totale delle armature a taglio (area delle staffe più area dei ferri piegati);
- dove Φ è il diametro delle armature longitudinali compresse.

Ai fini di un buon comportamento sismico, sono rispettate le seguenti limitazioni geometriche, ai sensi del § 7.4.6.1.1 del D.M. 2018:

$$\begin{array}{lll} b_{t} \geq b_{t,min} = 20 \text{ cm} & [TR-LG-A] \\ b_{t} \leq b_{t,max} = min\{b_{c} + h_{t}; \ b_{c}\} & [TR-LG-B] \\ b_{t}/h_{t} \geq (b_{t}/h_{t})_{min} = 0.25 & [TR-LG-C] \\ L_{zc} = 1.5 \ h_{t} \ (CD-A); \ L_{zc} = 1.0 \ h_{t} & [TR-LG-D] \\ (CD-B) & \end{array}$$

dove:

- b_t e h_t sono la base e l'altezza delle travi, rispettivamente;
- b_ε è la larghezza della colonna;
- L_{zc} è la larghezza della zona dissipativa.

Inoltre, per il dimensionamento delle armature, vengono rispettate le prescrizioni del § 7.4.6.2.1 del D.M. 2018, illustrate nel seguito.

Armature longitudinali

dove:

- n_{ϕ_l} è il numero di barre al lembo inferiore o superiore, di diametro almeno pari a 14 mm;
- $n_{\phi_{l,min}}$ è il minimo numero possibile di barre al lembo inferiore o superiore, di diametro almeno pari a 14 mm;
- ρ è il rapporto geometrico relativo all'armatura tesa (rapporto tra le aree delle armature, A_s , e l'area della sezione rettangolare, $b \times h$);
- ρ_{cmp} è il rapporto geometrico relativo all'armatura compressa;
- $\rho_{cmp,min} = 0.25 \rho$ per zone non dissipative, oppure $\frac{1}{2} \rho$ per zone dissipative.
- f_{vk} è la resistenza di snervamento caratteristica dell'acciaio in MPa.

Armature trasversali

$$p_{st} \le p_{st,\text{max}} = \min \begin{cases} \left[\frac{d}{4}; & 175 \, mm; & 6\Phi_l; & 24\Phi_{st} \right] & (CD - A) \\ \left[\frac{d}{4}; & 225 \, mm; & 8\Phi_l; & 24\Phi_{st} \right] & (CD - B) \end{cases}$$

$$\Phi_{st} \ge \Phi_{\text{st min}} = 6 \, \text{mm}$$

$$[TR-AT-B]$$

dove:

- d è l'altezza utile della sezione;
- Φ_ι è il diametro più piccolo delle barre longitudinali utilizzate;
- Φ_{st} è il diametro più piccolo delle armature trasversali utilizzate;
- Φ_{st.min} è il minimo diametro delle staffe da normativa.

10 SPINTA DEL TERRENO

Il calcolo della spinta del terrapieno, in condizioni statiche, viene effettuato con:

$$E_d = \frac{1}{2} \cdot \gamma \cdot K \cdot H^2$$
;

in cui:

γ: peso unità di volume del terreno;

H: altezza del terrapieno;

K: coefficiente di spinta.

In condizioni *sismiche* la formula precedente diventa:

$$E_{d} = \frac{1}{2} \cdot \gamma \cdot (1 \pm k_{v}) \cdot K \cdot H^{2};$$

CON:

 $K_v = \pm 0.5 \cdot k_h = \text{coefficiente di intensità sismico verticale};$

 $K_h = \beta_m \cdot S_T \cdot S_S \cdot a_o / g = coefficiente di intensità sismico orizzontale;$

 β_m = coefficiente di riduzione dell'accelerazione massima attesa al sito;

 S_{τ} = coefficiente di amplificazione topografico;

 S_s = coefficiente di amplificazione stratigrafico;

 a_{σ}/g = coefficiente di accelerazione al suolo.

Nel caso di muri liberi di traslare o di ruotare intorno al piede (spostamenti consentiti), si assume che la spinta dovuta al sisma agisca nello stesso punto di quella statica (andamento triangolare delle tensioni). In questo caso il coefficiente β_m assume i valori indicati al §7.11.6.2.1 del D.M. 2018. Per muri che non sono in grado di subire spostamenti relativi rispetto al terreno (spostamenti non consentiti), il coefficiente β_m assume valore unitario. In questo caso si assume che la spinta sia applicata a metà altezza del muro (andamento costante delle tensioni).

Il calcolo del coefficiente di spinta K può essere effettuato, a scelta dell'utente, nei seguenti modi:

Condizioni statiche	Condizioni sismiche
Attiva	Attino
Passiva	Attiva

Spinta Attiva

Viene calcolato secondo la formulazione di Mononobe-Okabe [OPCM 3274 par. 4.4.3 – EN 1998-5 (EC8) Appendice E]:

$$\begin{split} K &= \frac{ \text{sen}^2 \left(\psi + \varphi - \theta \right) }{ \cos \theta \cdot \text{sen}^2 \psi \cdot \text{sen} (\psi - \theta - \delta) \cdot \left[1 + \sqrt{ \frac{ \text{sen} (\varphi + \delta) \cdot \text{sen} (\varphi - \beta - \theta) }{ \text{sen} (\psi - \theta - \delta) \cdot \text{sen} (\psi + \beta) } \right]^2 } \quad \text{(per } \beta \leq \varphi - \theta \text{)}; \\ K &= \frac{ \text{sen}^2 \left(\psi + \varphi - \theta \right) }{ \cos \theta \cdot \text{sen}^2 \psi \cdot \text{sen} (\psi - \theta - \delta) } \quad \text{(per } \beta > \varphi - \theta \text{)}; \end{split}$$

dove:

 ϕ = angolo di attrito del terreno;

 ψ = angolo di inclinazione rispetto all'orizzontale della parete del muro rivolta a monte (assunto pari a 90°);

 β = angolo di inclinazione rispetto all'orizzontale della superficie del terrapieno (assunto pari a zero);

 δ = valore di calcolo dell'angolo di resistenza a taglio tra terreno e muro (assunto pari a zero);

 θ = angolo definito dalla seguente espressione (pari a zero in condizioni <u>statiche</u>):

$$\tan \theta = \frac{k_h}{1 \pm k_v}.$$

Spinta Passiva

Viene calcolato secondo la formulazione di Mononobe-Okabe [OPCM 3274 par. 4.4.3 – EN 1998-5 (EC8) App. E]:

$$K = \frac{\text{sen}^2 \left(\psi + \phi - \theta \right)}{\text{cos } \theta \cdot \text{sen}^2 \psi \cdot \text{sen}(\psi + \theta) \cdot \left[1 - \sqrt{\frac{\text{sen} \phi \cdot \text{sen}(\phi + \beta - \theta)}{\text{sen}(\psi + \beta) \cdot \text{sen}(\psi + \theta)}} \right]^2} \cdot$$

Spinta a Riposo

Viene calcolato secondo la formulazione:

$$K = 1-sen\phi$$
.

Spinta Utente

Va infine ricordato che il coefficiente di spinta K può essere altresì liberamente indicato dall'utente.

Terreno con Sovraccarico

In caso di terreno in cui a tergo della parete agisce un sovraccarico (Q), viene calcolato il contributi:

$$\Delta \sigma_0 = K \cdot Q$$
.

Terreno con Coesione

In caso di terreno dotato di coesione (c), viene calcolato il contributo:

$$\Delta \sigma_{\rm C} = 2 \cdot {\rm C} \cdot \sqrt{\rm K}$$
.

che può essere additivo (spinta passiva) o sottrattivo (spinta attiva/a riposo).

11 TABULATI DI CALCOLO

Per quanto non espressamente sopra riportato, ed in particolar modo per ciò che concerne i dati numerici di calcolo, si rimanda all'allegato "<u>Tabulati di calcolo</u>" costituente parte integrante della presente relazione.

12 VERIFICHE GEOTECNICHE

Vedi pagine seguenti

Legnago, 23/11/2018

Il Progettista

(Ing. Loris Bisighin)

Caratteristich	ne terreno	Caratteristiche	e muro	Azioni perm	anenti
γ	17,70 kN/m³	h	2,15 m	q	10,00 kPa
γ'	11,00 kN/m³	h_dado	0,40 m		
Ø	27 °	Н	2,55 m		
ka	0,38	b_sx	0,80 m		
		b_dx	1,60 m		
Caratteristich	ne acqua	S	0,25 m		
γw	10,00 kN/m³	s_inf	0,25 m		
hw	0,00 m	γ_c.a.	25,00 kN/m³		

Azioni dovute al peso del muro

Azioni dovute alle spinte

Contributo	Area	peso	braccio rispetto ad "A"	Momento rispetto ad "A"	Contributo	pressione	Spinta	braccio rispetto ad "A"	Momento rispetto ad "A"
	[m²]	[kN/m]	[m]	[kN·m/m]		[kN/m²]	[kN/m]	[m]	[kN·m/m]
1	0,32	8,00	0,40	3,20	t_1	16,95	21,61	0,85	18,37
2	0,64	16,00	1,60	25,60	t_2	16,95	0,00	0,00	0,00
3a	0,54	13,44	0,68	9,07	t_3	0,00	0,00	0,00	0,00
3b	0,27	6,72	0,47	3,14	a_1	0,00	0,00	0,00	0,00
4a	3,44	60,89	1,60	97,42	s_1	3,76	9,58	1,28	12,21
4b	0,00	0,00	1,60	0,00					
Totale		105,04	1,32	138,43	Totale		31,19		30,58

Verifica allo scorrimento - Approccio 2 (A1+M1+R3)

Rd 48,66 kN/m

Rd > Ed VERIFICATO

Ed 42,46 kN/m

Verifica carico limite - Approccio 2 (A1+M1+R3)

Ed=V 136,56 kN/m H 42,46 kN/m M_g_fond -26,10788 kNm/m

e 0,19 m < B/6 0,40 m **SEZ. NON PARZIALIZZATA**

α 17,3 °

B' 2,02 m

iq 0,65 Nq 13,20 iγ 0,13 Nγ 14,69

Rd 137,04 kN/m Rd > Ed VERIFICATO

Verifica al ribaltamento - Approccio 2 (A1+M1+R3)

Rd 120,37 kN/m

Rd > Ed VERIFICATO

Ed 42,19 kN/m

Provincia di Verona

COMUNE DI SANGUINETTO

TABULATI DI CALCOLO MURO DI SOSTEGNO

PROGETTO: "Progetto esecutivo secondo stralcio funzionale per i lavori di completamento del percorso ciclopedonale in Via Dossi, nel Comune di Sanguinetto (VR)"

COMMITTENTE: Comune di Sanguinetto

Sanguinetto, 23/11/2018

Il Progettista opere in c.a.

(Ing. Loris Bisighin)

Il Direttore lavori opere in c.a.

(Ing. Loris Bisighin)

Studio Tecnico Dott. Ing. LORIS BISIGHIN Via G. Matteotti n.61 - Legnago (VR) Tel/fax: 0442 600944



Sommario

INFORMAZIONI GENERALI	_
MATERIALI CALCESTRUZZO ARMATO	5
MATERIALI ACCIAIO	5
TENSIONI AMMISSIBILI ALLO SLE DEI VARI MATERIALI	5
TERRENI	
ANALISI CARICHI	
TIPOLOGIE DI CARICO	
SLU: Non Sismica - Strutturale senza azioni geotecniche	6
SLU: Sismica - Strutturale senza azioni geotecniche	7
COMBINAZIONI SISMICHE	
SERVIZIO(SLE): Caratteristica(RARA)	8
SERVIZIO(SLE): Frequente	
SERVIZIO(SLE): Quasi permanente	8
DATI GENERALI ANALISI SISMICA	
DATI GENERALI ANALISI SISMICA - FATTORI DI STRUTTURA	9
PRINCIPALI ELEMENTI ANALISI SISMICA	9
PARETI	9
PLATEE	
CARICHI SULLE PARETI	10
CARICHI SULLE PLATEE	
Pareti - TENSIONI PER EFFETTO DEL SISMA	
Platee - TENSIONI PER EFFETTO DEL SISMA	
NODI - REAZIONI VINCOLARI ESTERNE PER EFFETTO DEL SISMA	
EDIFICIO - VERIFICHE DI RIPARTIZIONE DELLE FORZE SISMICHE	
Pareti - VERIFICHE PRESSOFLESSIONE RETTA ALLO SLU (Elevazione)	
Pareti - VERIFICHE A TAGLIO PER PRESSOFLESSIONE RETTA ALLO SLU (Elevazione)	
Pareti - VERIFICHE DELLE TENSIONI DI ESERCIZIO (Elevazione)	
Pareti - VERIFICA ALLO STATO LIMITE DI FESSURAZIONE (Elevazione)	
PIANI - VERIFICHE REGOLARITÀ (Elevazione)	
EFFETTI DELLE NON LINEARITÀ GEOMETRICHE PER SISMA (Elevazione)	
PIANI - VERIFICHE AGLI SPOSTAMENTI	17
PLATEE - VERIFICHE PRESSOFLESSIONE RETTA ALLO SLU (Fondazione)	
Platee - VERIFICHE DELLE TENSIONI DI ESERCIZIO (Fondazione)	
Platee - VERIFICA ALLO STATO LIMITE DI FESSURAZIONE (Fondazione)	
VERIFICHE CARICO LIMITE FONDAZIONI DIRETTE ALLO SLU (Fondazione)	19
VERIFICHE CARICO LIMITE FONDAZIONI DIRETTE ALLO SLD (Fondazione)	19



INFORMAZIONI GENERALI

 Edificio
 Cemento Armato

 Costruzione
 Nuova

 Situazione

 Intervento

 Comune
 Sanguinetto

 Provincia
 Verona

Oggetto Parte d'opera

Normativa di riferimento D.M. 17/01/2018 Zona sismica -

Analisi sismica Dinamica solo Orizzontale

MATERIALI CALCESTRUZZO ARMATO

											C	aratteristic	he calcest	ruzzo	armato
Nid	γk	αт, і	E	G	CErid	Stz	Rck	Rcm	%R _{ck}	γc	f cd	fctd	f _{cfm}	N	n Ac
	[N/m ³]	[1/°C]	[N/mm ²]	[N/mm ²]	[%]		[N/mm ²]	[N/mm ²]			[N/mm ²]	[N/mm ²]	[N/mm ²]		
Cls C2	Cls C25/30_B450C - (C25/30)														
001	25 000	0,000010	31 447	13 103	60	Р	30,00	-	0,85	1,50	14,11	1,19	3,07	15	002

LEGENDA:

Numero identificativo del materiale, nella relativa tabella dei materiali.

y_k Peso specifico.

α_{T, i} Coefficiente di dilatazione termica.
 E Modulo elastico normale.
 G Modulo elastico tangenziale.

 C_{Erid} Coefficiente di riduzione del Modulo elastico normale per Analisi Sismica [$E_{Sisma} = E \cdot C_{Erid}$].

Stz Tipo di situazione: [F] = di Fatto (Esistente); [P] = di Progetto (Nuovo).

Rck Resistenza caratteristica cubica.
Rcm Resistenza media cubica.
Resistenza media cubica.
Percentuale di riduzione della Rck

γ_c Coefficiente parziale di sicurezza del materiale.

 \mathbf{f}_{cd} Resistenza di calcolo a compressione. \mathbf{f}_{ctd} Resistenza di calcolo a trazione.

 f_{cfm} Resistenza media a trazione per flessione.

n Ac Identificativo, nella relativa tabella materiali, dell'acciaio utilizzato: [-] = parametro NON significativo per il materiale.

MATERIALI ACCIAIO

														Caratt	eristiche	e acciaio
N _{id}	γk	α _{T, i}	E	G	Stz	f _{yk,1} / f _{yk,2}	f _{tk,1} /	f _{yd,1} / f _{yd,2}	\mathbf{f}_{td}	γs	γм1	γм2	ү мз,slv	γm3,SLE	NCnt	M7 Cnt
	[N/m³]	[1/°C]	[N/mm ²]	[N/mm ²]		[N/mm ²]	[N/mm ²]	[N/mm ²]	[N/mm ²]							
Accia	Acciaio B450C - (B450C)															
002	78 500	0,000010	210 000	80 769	Р	450,00	-	391,30	-	1,15	-	-	-	-	-	-

LEGENDA:

N_{id} Numero identificativo del materiale, nella relativa tabella dei materiali.

γ_k Peso specifico.

α_{T, i} Coefficiente di dilatazione termica.
 E Modulo elastico normale.
 G Modulo elastico tangenziale.

Stz Tipo di situazione: [F] = di Fatto (Esistente); [P] = di Progetto (Nuovo).

 $f_{tk,1}$ Resistenza caratteristica a Rottura (per profili con t \leq 40 mm).

 $f_{tk,2}$ Resistenza caratteristica a Rottura (per profili con 40 mm < t \leq 80 mm).

 \mathbf{f}_{td} Resistenza di calcolo a Rottura (Bulloni).

 γ_s Coefficiente parziale di sicurezza allo SLV del materiale. γ_{M1} Coefficiente parziale di sicurezza per instabilità. γ_{M2} Coefficiente parziale di sicurezza per sezioni tese indebolite.

YM3,SLV Coefficiente parziale di sicurezza per scorrimento allo SLV (Bulloni). YM3,SLE Coefficiente parziale di sicurezza per scorrimento allo SLE (Bulloni).

γ_{M7} Coefficiente parziale di sicurezza precarico di bulloni ad alta resistenza (Bulloni - NCnt = con serraggio NON controllato; Cnt = con serraggio controllato). [-] =

parametro NON significativo per il materiale.

 $f_{yk,1}$ Resistenza caratteristica allo snervamento (per profili con t <= 40 mm).

 $f_{yk,2}$ Resistenza caratteristica allo snervamento (per profili con 40 mm < t \leq 80 mm).

 $f_{yd,1}$ Resistenza di calcolo (per profili con t \leq 40 mm).

 $f_{yd,2}$ Resistenza di calcolo (per profili con 40 mm $< t \le 80$ mm).

NOTE [-] = Parametro non significativo per il materiale.

TENSIONI AMMISSIBILI ALLO SLE DEI VARI MATERIALI

	Tensioni ammissibili allo SLE dei vari materia		
Materiale	SL	Tensione di verifica	σ d,amm
			[N/mm²]
Cls C25/30_B450C	Caratteristica(RARA)	Compressione Calcestruzzo	14,94
	Quasi permanente	Compressione Calcestruzzo	11,21
Acciaio B450C	Caratteristica(RARA)	Trazione Acciaio	360,00

LEGENDA:

SL Stato limite di esercizio per cui si esegue la verifica.

Tensioni ammissibili allo SLE dei vari mate										
Materiale	SL	Tensione di verifica	o d,amm							
			[N/mm²]							
The street and a second and the second	Transfer and table and broaden									

 $\sigma_{d,amm}$ Tensione ammissibile per la verifica.

TERRENI

										Terreni
N.	Arr	K						-		
N _{TRN}	γт	K _X	Κ _Y	Kz	φ	Cu	C	⊏d	⊏cu	A _{S-B}
	[N/m ³]	[N/cm ³]	[N/cm ³]	[N/cm ³]	[°]	[N/mm ²]	[N/mm ²]	[N/mm ²]	[N/mm ²]	
indagine geologica										
T001	19 700	60	60	18	30	0,120	0,000	5	1	0,000

LEGENDA:

 N_{TRN} Numero identificativo del terreno.

γτ Peso specifico del terreno.K Valori della costante di sot

K Valori della costante di sottofondo del terreno nelle direzioni degli assi del riferimento globale X (Kx), Y (Ky), e Z (Kz).

φ Angolo di attrito del terreno.
 c_u Coesione non drenata.

cu Coesione non drenata.
 c' Coesione efficace.
 E_d Modulo edometrico.

E_{cu} Modulo elastico in condizione non drenate.

A_{S-B} Parametro "A" di Skempton-Bjerrum per pressioni interstiziali.

ANALISI CARICHI

									Analis	i carichi
N.	T. C.	Descrizione del	Tipologie di	Peso Proprio		Permanente NON Strut	turale	Sovraccarico Acciden	Carico	
N _{id}	Ivid I.C.	Carico	Carico	Descrizione	Descrizione PP		PNS	Descrizione	Descrizione SA	
										[N/m ²]
001	S	Muro sostegno	Permanenti NON Strutturali	*vedi le relative tabelle dei carichi	-	terreno	40 850	sovraccarico pista ciclabile	10 000	0

LEGENDA:

Numero identificativo dell'analisi di carico.

T. C. Identificativo del tipo di carico: [S] = Superficiale - [L] = Lineare - [C] = Concentrato.

PP, PNS, SA Valori, rispettivamente, del Peso Proprio, del Sovraccarico Permanente NON strutturale, del Sovraccarico Accidentale. Secondo il tipo di carico indicato nella colonna "T.C." ("S" - "L" - "C"), i valori riportati nelle colonne "PP", "PNS" e "SA", sono espressi in [N/m²] per carichi Superficiali, [N/m] per carichi Lineari, [N] per carichi Concentrati.

TIPOLOGIE DI CARICO

						Ti	pologie di carico
Nid	Descrizione	F+E	+/- F	CDC	Ψο	Ψ1	Ψ2
0001	Carico Permanente	SI	NO	Permanente	1,00	1,00	1,00
0001	Permanenti NON Strutturali	SI	NO	Permanente	1,00	1,00	1,00
0003	Spinta Terreno (statica)	NO	NO	Lunga	1,00	1,00	1,00
0004	Spinta Terreno (sisma)	SI	NO	Istantanea	0,00	0,00	0,00
0005	Sisma X	-	-	-	-	-	-
0006	Sisma Y	-	-	-	-	-	-
0007	Sisma Z	-	-	-	-	-	-
0008	Sisma Ecc.X	-	-	-	-	-	-
0009	Sisma Ecc.Y	-	-	-	-	-	-

LEGENDA:

N_{id} Numero identificativo della Tipologia di Carico.

F+E Indica se la tipologia di carico considerata è AGENTE con il sisma.

+/- F Indica se la tipologia di carico è ALTERNATA (cioè considerata due volte con segno opposto) o meno.

CDC Indica la classe di durata del carico.

NOTA: dato significativo solo per elementi in materiale legnoso. ψ_0 Coefficiente riduttivo dei carichi allo SLU e SLE (carichi rari).

 ψ_1 Coefficiente riduttivo dei carichi allo SLE (carichi frequenti).

 ψ_2 Coefficiente riduttivo dei carichi allo SLE (carichi frequenti e quasi permanenti).

SLU: Non Sismica - Strutturale senza azioni geotecniche

	SLU: Non Sismica - Strutturale senza azioni geotecnich									
I d _{Comb}	CC 01 Carico Permanente	CC 02 Permanenti NON Strutturali	CC 03 Spinta Terreno (statica)	CC 04 Spinta Terreno (sisma)						
01	1,00	0,00	0,00	0,00						
02	1,00	0,80	1,00	0,00						
03	1,00	0,80	1,30	0,00						
04	1,00	1,50	1,00	0,00						
05	1,00	1,50	1,30	0,00						
06	1,30	0,00	0,00	0,00						
07	1,30	0,80	1,00	0,00						
08	1,30	0,80	1,30	0,00						
09	1,30	1,50	1,00	0,00						
10	1,30	1,50	1,30	0,00						

SLU: Non Sismica - Strutturale senza azioni geotecniche

	CC 01	CC 02	CC 03	CC 04
Idcomb	Carico Permanente	Permanenti NON Strutturali	Spinta Terreno (statica)	Spinta Terreno (sisma)

LEGENDA:

 $I\,d_{\mathsf{Comb}}$ Numero identificativo della Combinazione di Carico. Identificativo della tipologia di carico nella relativa tabella.

CC 01= Carico Permanente CC 02= Permanenti NON Strutturali CC 03= Spinta Terreno (statica) CC 04= Spinta Terreno (sisma)

SLU: Sismica - Strutturale senza azioni geotecniche

SLU: Sismica - Strutturale senza azioni geotecniche

		3LU. 3	isinica Strutturaic s	oti attaraic senza azioni geoteeniene			
	CC 01	CC 02	CC 03	CC 04			
Idcomb	Carico Permanente	Permanenti NON Strutturali	Spinta Terreno (statica	Spinta Terreno (sisma)			
01	1,00	1,00	0,00	1,00			

LEGENDA:

Numero identificativo della Combinazione di Carico. Identificativo della tipologia di carico nella relativa tabella.

CC 01= Carico Permanente CC 02= Permanenti NON Strutturali CC 03= Spinta Terreno (statica) CC 04= Spinta Terreno (sisma)

COMBINAZIONI SISMICHE

Alle combinazioni riportate nella precedente tabella è stato aggiunto l'effetto del sisma secondo la formula (3.2.16) riportata al punto 3.2.4 del D.M. 14-01-2008. L'azione sismica è stata considerata come caratterizzata da tre componenti traslazionali lungo i tre assi globali X, Y e Z; la risposta della struttura è stata calcolata separatamente per i tre effetti e quindi combinata secondo la seguente espressione simbolica:

 $\alpha = \alpha_i + 0,3 \cdot \alpha_{ii} + 0,3 \cdot \alpha_{iii}$

 $\cos \alpha$ effetto totale dell'azione sismica, α i, α ii e α iii azioni sismiche nelle tre direzioni. E' stata effettuata una rotazione degli indici e dei segni, per cui le combinazioni totali generate sono le:

(con α'_p sollecitazione dovuta alla combinazione delle condizioni statiche e α sollecitazione dovuta al sisma; in particolare α_x , α_y , α_{ex} , α_{ey} , α_{ey} sono rispettivamente le sollecitazioni dovute al sisma agente in direzione x, in direzioni y, in direzione z, per eccentricità accidentale positiva in direzione x e per eccentricità accidentale positiva in direzione y)

```
\textbf{1)} \ \alpha'_p + (\alpha_x + \alpha_{ex}) + 0, \\ \textbf{3} \bullet (\alpha_y + \alpha_{ey}) + 0, \\ \textbf{3} \bullet \alpha_z; \ \textbf{2)} \ \alpha'_p + (\alpha_x + \alpha_{ex}) - 0, \\ \textbf{3} \bullet (\alpha_y + \alpha_{ey}) + 0, \\ \textbf{3} \bullet \alpha_z; \\ \textbf{2} \bullet \alpha_z; \\ \textbf{3} \bullet \alpha_z; \\ \textbf{3} \bullet \alpha_z; \\ \textbf{4} \bullet \alpha_z \bullet \alpha_z; \\ \textbf{5} \bullet \alpha_z; \\ \textbf{
```

- 3) $\alpha'_p + (\alpha_x + \alpha_{ex}) + 0.3 \bullet (\alpha_y + \alpha_{ey}) 0.3 \bullet \alpha_z$; 4) $\alpha'_p + (\alpha_x + \alpha_{ex}) 0.3 \bullet (\alpha_y + \alpha_{ey}) 0.3 \bullet \alpha_z$;
- **5)** $\alpha'_p + (\alpha_x + \alpha_{ex}) + 0.3 \bullet (\alpha_y \alpha_{ey}) + 0.3 \bullet \alpha_z$; **6)** $\alpha'_p + (\alpha_x + \alpha_{ex}) 0.3 \bullet (\alpha_y \alpha_{ey}) + 0.3 \bullet \alpha_z$;
- 7) $\alpha'_p + (\alpha_x + \alpha_{ex}) + 0.3 \bullet (\alpha_y \alpha_{ey}) 0.3 \bullet \alpha_z$; 8) $\alpha'_p + (\alpha_x + \alpha_{ex}) 0.3 \bullet (\alpha_y \alpha_{ey}) 0.3 \bullet \alpha_z$;
- **9)** $\alpha'_p + (\alpha_x \alpha_{ex}) + 0.3 \bullet (\alpha_y + \alpha_{ey}) + 0.3 \bullet \alpha_z$; **10)** $\alpha'_p + (\alpha_x \alpha_{ex}) 0.3 \bullet (\alpha_y + \alpha_{ey}) + 0.3 \bullet \alpha_z$;
- 11) $\alpha'_p + (\alpha_x \alpha_{ex}) + 0.3 \bullet (\alpha_y + \alpha_{ey}) 0.3 \bullet \alpha_z$; 12) $\alpha'_p + (\alpha_x \alpha_{ex}) 0.3 \bullet (\alpha_y + \alpha_{ey}) 0.3 \bullet \alpha_z$;
- **13)** $\alpha'_p + (\alpha_x \alpha_{ex}) + 0, 3 \bullet (\alpha_y \alpha_{ey}) + 0, 3 \bullet \alpha_z$; **14)** $\alpha'_p + (\alpha_x \alpha_{ex}) 0, 3 \bullet (\alpha_y \alpha_{ey}) + 0, 3 \bullet \alpha_z$;
- **15)** $\alpha'_p + (\alpha_x \alpha_{ex}) + 0.3 \bullet (\alpha_y \alpha_{ey}) 0.3 \bullet \alpha_z$; **16)** $\alpha'_p + (\alpha_x \alpha_{ex}) 0.3 \bullet (\alpha_y \alpha_{ey}) 0.3 \bullet \alpha_z$;
- 17) $\alpha'_p + (\alpha_y + \alpha_{ey}) + 0.3 \bullet (\alpha_x + \alpha_{ex} + 0.3 \bullet \alpha_z; 18) \alpha'_p + (\alpha_y + \alpha_{ey}) 0.3 \bullet (\alpha_x + \alpha_{ex}) + 0.3 \bullet \alpha_z;$
- **19)** $\alpha'_p + (\alpha_y + \alpha_{ey}) + 0.3 \bullet (\alpha_x + \alpha_{ex}) 0.3 \bullet \alpha_z$; **20)** $\alpha'_p + (\alpha_y + \alpha_{ey}) 0.3 \bullet (\alpha_x + \alpha_{ex}) 0.3 \bullet \alpha_z$; **21)** $\alpha'_p + (\alpha_y + \alpha_{ey}) + 0,3 \bullet (\alpha_x - \alpha_{ex}) + 0,3 \bullet \alpha_z;$ **22)** $\alpha'_p + (\alpha_y + \alpha_{ey}) - 0,3 \bullet (\alpha_x - \alpha_{ex}) + 0,3 \bullet \alpha_z;$
- **23)** $\alpha'_p + (\alpha_y + \alpha_{ey}) + 0.3 \bullet (\alpha_x \alpha_{ex}) 0.3 \bullet \alpha_z$; **24)** $\alpha'_p + (\alpha_y + \alpha_{ey}) 0.3 \bullet (\alpha_x \alpha_{ex}) 0.3 \bullet \alpha_z$;
- **25)** $\alpha'_p + (\alpha_y \alpha_{ey}) + 0,3 \bullet (\alpha_x + \alpha_{ex}) + 0,3 \bullet \alpha_z;$ **26)** $\alpha'_p + (\alpha_y \alpha_{ey}) 0,3 \bullet (\alpha_x + \alpha_{ex}) + 0,3 \bullet \alpha_z;$
- **27)** $\alpha'_p + (\alpha_y \alpha_{ey}) + 0,3 \bullet (\alpha_x + \alpha_{ex}) 0,3 \bullet \alpha_z;$ **28)** $\alpha'_p + (\alpha_y \alpha_{ey}) 0,3 \bullet (\alpha_x + \alpha_{ex}) 0,3 \bullet \alpha_z;$
- **29)** $\alpha'_{p}+(\alpha_{y}-\alpha_{ey})+0,3\bullet(\alpha_{x}-\alpha_{ex})+0,3\bullet\alpha_{z}$; **30)** $\alpha'_{p}+(\alpha_{y}-\alpha_{ey})-0,3\bullet(\alpha_{x}-\alpha_{ex})+0,3\bullet\alpha_{z}$;
- **31)** $\alpha'_p + (\alpha_y \alpha_{ey}) + 0.3 \bullet (\alpha_x \alpha_{ex}) 0.3 \bullet \alpha_z$; **32)** $\alpha'_p + (\alpha_y \alpha_{ey}) 0.3 \bullet (\alpha_x \alpha_{ex}) 0.3 \bullet \alpha_z$;
- **33)** $\alpha'_p + \alpha_z + 0,3 \bullet (\alpha_x + \alpha_{ex}) + 0,3 \bullet (\alpha_y + \alpha_{ey});$ **34)** $\alpha'_p + \alpha_z 0,3 \bullet (\alpha_x + \alpha_{ex}) + 0,3 \bullet (\alpha_y + \alpha_{ey});$
- **35)** $\alpha'_p + \alpha_z + 0,3 \bullet (\alpha_x + \alpha_{ex}) 0,3 \bullet (\alpha_y + \alpha_{ey});$ **36)** $\alpha'_p + \alpha_z 0,3 \bullet (\alpha_x + \alpha_{ex}) 0,3 \bullet (\alpha_y + \alpha_{ey});$
- $\textbf{37)} \ \alpha'_p + \alpha_z + 0, \\ \textbf{3} \bullet (\alpha_x + \alpha_{ex}) + 0, \\ \textbf{3} \bullet (\alpha_y \alpha_{ey}); \ \textbf{38)} \ \alpha'_p + \alpha_z 0, \\ \textbf{3} \bullet (\alpha_x + \alpha_{ex}) + 0, \\ \textbf{3} \bullet (\alpha_y \alpha_{ey}); \\ \textbf{38)} \ \alpha'_p + \alpha_z 0, \\ \textbf{30} \bullet (\alpha_x + \alpha_{ex}) + 0, \\ \textbf{30} \bullet (\alpha_y \alpha_{ey}); \\ \textbf{37} \bullet (\alpha_x + \alpha_{ex}) + 0, \\ \textbf{30} \bullet (\alpha_x + \alpha_{ex}) + 0, \\$
- **39)** $\alpha'_p + \alpha_z + 0,3 \bullet (\alpha_x + \alpha_{ex}) 0,3 \bullet (\alpha_y \alpha_{ey});$ **40)** $\alpha'_p + \alpha_z 0,3 \bullet (\alpha_x + \alpha_{ex}) 0,3 \bullet (\alpha_y \alpha_{ey});$
- **41)** $\alpha'_p + \alpha_z + 0,3 \bullet (\alpha_x \alpha_{ex}) + 0,3 \bullet (\alpha_y + \alpha_{ey});$ **42)** $\alpha'_p + \alpha_z 0,3 \bullet (\alpha_x \alpha_{ex}) + 0,3 \bullet (\alpha_y + \alpha_{ey});$
- **43)** $\alpha'_p + \alpha_z + 0, 3 \bullet (\alpha_x \alpha_{ex}) 0, 3 \bullet (\alpha_y + \alpha_{ey});$ **44)** $\alpha'_p + \alpha_z 0, 3 \bullet (\alpha_x \alpha_{ex}) 0, 3 \bullet (\alpha_y + \alpha_{ey});$ **45)** $\alpha'_p + \alpha_z + 0, 3 \bullet (\alpha_x \alpha_{ex}) + 0, 3 \bullet (\alpha_y \alpha_{ey});$ **46)** $\alpha'_p + \alpha_z 0, 3 \bullet (\alpha_x \alpha_{ex}) + 0, 3 \bullet (\alpha_y \alpha_{ey});$
- **47)** $\alpha'_p + \alpha_z + 0,3 \bullet (\alpha_x \alpha_{ex}) 0,3 \bullet (\alpha_y \alpha_{ey});$ **48)** $\alpha'_p + \alpha_z 0,3 \bullet (\alpha_x \alpha_{ex}) 0,3 \bullet (\alpha_y \alpha_{ey}).$

Nel caso di verifiche effettuate con sollecitazioni composte, per tenere conto del fatto che le sollecitazioni sismiche sono state ricavate come CQC delle sollecitazioni derivanti dai modi di vibrazione, dette N, Mx, My, Tx e Ty le sollecitazioni dovute al sisma, per ognuna delle combinazioni precedenti, sono state ricavate 32 combinazioni di carico permutando nel seguente modo i segni delle sollecitazioni derivanti dal

Mx, -My, -Tx e -Ty.

SERVIZIO(SLE): Caratteristica(RARA)

	SERVIZIO(SEE). Caratteristica(RARA									
	CC 01	CC 02	CC 03	CC 04						
Idcomb	Carico Permanente	Permanenti NON Strutturali	Spinta Terreno (statica)	Spinta Terreno (sisma)						
01	1,00	1,00	1,00	0,00						

LEGENDA:

 $I\,d_{\text{Comb}}$ Numero identificativo della Combinazione di Carico.

Identificativo della tipologia di carico nella relativa tabella.

CC 01= Carico Permanente CC 02= Permanenti NON Strutturali CC 03= Spinta Terreno (statica) CC 04= Spinta Terreno (sisma)

SERVIZIO(SLE): Frequente

SERVIZIO(SLE): Frequente

			0_111	TETO(SEE). Trequente
Idcomb	CC 01 Carico Permanente	CC 02 Permanenti NON Strutturali	CC 03 Spinta Terreno (statica)	CC 04 Spinta Terreno (sisma)
01	1,00	1,00	1,00	0,00

LEGENDA:

Numero identificativo della Combinazione di Carico. I d_{Comb}

Identificativo della tipologia di carico nella relativa tabella.

CC 01= Carico Permanente CC 02= Permanenti NON Strutturali CC 03= Spinta Terreno (statica) CC 04= Spinta Terreno (sisma)

SERVIZIO(SLE): Quasi permanente

SERVIZIO(SLE): Quasi permanente

			JLIVIZIO(JL	L). Quasi permanente
	CC 01	CC 02	CC 03	CC 04
Idcomb	Carico Permanente	Permanenti NON	Spinta Terreno (statica)	Spinta Terreno (sisma)
		Strutturali		
01	1,00	1,00	1,00	0,00

LEGENDA:

Numero identificativo della Combinazione di Carico. I d_{Comb} CC

Identificativo della tipologia di carico nella relativa tabella.

CC 01= Carico Permanente CC 02= Permanenti NON Strutturali CC 03= Spinta Terreno (statica) CC 04= Spinta Terreno (sisma)

DATI GENERALI ANALISI SISMICA

									Dati	generali ana	alisi sismica
Ang	NV	CD	MP	Dir	TS	EcA	I r _{Tmp}	C.S.T.	RP	RH	ξ
[°]											[%]
0	10	15 B	62	X	[P NC]	c	N	_	СТ	СТ	_
0	15		Ca	Υ	[P NC]	5	IN IN		51	51	3

LEGENDA:

Ang Direzione di una componente dell'azione sismica rispetto all'asse X (sistema di riferimento globale); la seconda componente dell'azione sismica e' assunta con direzione ruotata di 90 gradi rispetto alla prima.

Nel caso di analisi dinamica, indica il numero di modi di vibrazione considerati. ΝV

Classe di duttilità: [A] = Alta - [B] = Bassa - [ND] = Non Dissipativa - [-] = Nessuna. CD

Tipo di struttura sismo-resistente prevalente: [ca] = calcestruzzo armato - [caOld] = calcestruzzo armato esistente - [muOld] = muratura esistente - [muNew] = MP muratura nuova - [muArm] = muratura armata - [ac] = acciaio.

Dir Direzione del sisma.

Tipologia della struttura: TS

Cemento armato: [T 1C] = Telai ad una sola campata - [T+C] = Telai a più campate - [P] = Pareti accoppiate o miste equivalenti a pareti- [2P NC] = Due pareti per direzione non accoppiate - [P NC] = Pareti non accoppiate - [DT] = Deformabili torsionalmente - [PI] = Pendolo inverso - [PM] = Pendolo inverso intelaiate

Muratura: [P] = un solo piano - [PP] = più di un piano;

Acciaio: [T1C] = Telai ad una sola campata - [T+C] = Telai a più campate - [CT] = controventi concentrici diagonale tesa - [CV] = controventi concentrici a V -[M] = mensola o pendolo inverso - [TT] = telaio con tamponature.

EcA

Eccentricità accidentale: [S] = considerata come condizione di carico statica aggiuntiva - [N] = Considerata come incremento delle sollecitazioni.

Per piani con distribuzione dei tamponamenti in pianta fortemente irregolare, l'eccentricità accidentale è stata incrementata di un fattore pari a 2: [SI] = Ir_{Tmp}

Distribuzione tamponamenti irregolare fortemente - [NO] = Distribuzione tamponamenti regolare.

Categoria di sottosuolo: [A] = Ammassi rocciosi affioranti o terreni molto rigidi - [B] = Rocce tenere e depositi di terreni a grana grossa molto addensati o terreni C.S.T. a grana fina molto consistenti - [C] = Depositi di terreni a grana grossa mediamente addensati o terreni a grana fina mediamente consistenti - [D] = Depositi di terreni a grana grossa scarsamente addensati o di terreni a grana fina scarsamente consistenti - [E] = Terreni dei sottosuoli di tipo C o D per spessore non superiore a 20 m - [S1] = Depositi di terreni caratterizzati da valori di $V_{s,30}$ inferiori a 100 m/s (ovvero 10 < $c_{u,30}$ < 20 kPa), che includono uno strato di almeno 8 m di terreni a grana fina di bassa consistenza, oppure che includono almeno 3 m di torba o di argille altamente organiche - [S2] = Depositi di terreni suscettibili di liquefazione, di argille sensitive o qualsiasi altra categoria di sottosuolo non classificabile nei tipi precedenti.

Regolarità in pianta: [SI] = Struttura regolare - [NO] = Struttura non regolare. RP

Regolarità in altezza: [SI] = Struttura regolare - [NO] = Struttura non regolare. RH

Coefficiente viscoso equivalente. ξ

									Dat	i generali ana	alisi sismica
Ang	NV	CD	MP	Dir	TS	EcA	Ir _{Tmp}	C.S.T.	RP	RH	ξ
[°]											[%]

NOTE [-] = Parametro non significativo per il tipo di calcolo effettuato.

DATI GENERALI ANALISI SISMICA - FATTORI DI STRUTTURA

					Fattori di struttura
Dir	q	q o	k _R	α u/ α 1	K _w
X	1,500	1,50	1,0	1,00	0,50
Y	1,500	1,50	1,0	1,00	0,50
Z	1,500	-	-	-	-

LEGENDA:

q Fattore di riduzione dello spettro di risposta sismico allo SLU (Fattore di struttura).

q₀ Valore di base (comprensivo di Kw).

k_R Fattore riduttivo funzione della regolarità in altezza.

 α_u/α_1 Rapporto di sovraresistenza. K_w Fattore di riduzione di q_0 .

Stato Limite	т	2 /2	Amplif. Str	atigrafica	-	т*	-	-	-
Stato Limite	Ir	a _g /g	Ss	Cc	F ₀	I C	IB	Ic	ΙD
	[t]					[s]	[s]	[s]	[s]
SLO	30	0,0326	1,500	1,731	2,527	0,220	0,127	0,381	1,730
SLD	35	0,0343	1,500	1,702	2,539	0,231	0,131	0,394	1,737
SLV	332	0,0789	1,500	1,561	2,575	0,301	0,157	0,470	1,915
SLC	682	0,1013	1,500	1,543	2,576	0,311	0,160	0,480	2,005

LEGENDA:

 T_r Periodo di ritorno dell'azione sismica. [t] = anni.

a_g/g Coefficiente di accelerazione al suolo.

Ss Coefficienti di Amplificazione Stratigrafica allo SLO/SLD/SLV/SLC.

Cc Coefficienti di Amplificazione di Tc allo SLO/SLD/SLV/SLC.

F₀ Valore massimo del fattore di amplificazione dello spettro in accelerazione orizzontale.

T^{*}c Periodo di inizio del tratto a velocità costante dello spettro in accelerazione orizzontale.

 T_B Periodo di inizio del tratto accelerazione costante dello spettro di progetto. T_C Periodo di inizio del tratto a velocità costante dello spettro di progetto.

T_D Periodo di inizio del tratto a velocità costante dello spettro di progetto.

CI Ed	V _N	V_R	Lat.	Long.	Q_g	СТор	S _T
	[t]	[t]	[°ssdc]	[°ssdc]	[m]		
1	50	35	45 1825	11 1517	10	T1	1 00

LEGENDA:

CI Ed Classe dell'edificio

 Latt.
 Latitudine geografica del sito.

 Long.
 Longitudine geografica del sito.

 Qg
 Altitudine geografica del sito.

 CTop
 Categoria topografica (Vedi NOTE).

S_T Coefficiente di amplificazione topografica.

NOTE [-] = Parametro non significativo per il tipo di calcolo effettuato.

Categoria topografica.

T1: Superficie pianeggiante, pendii e rilievi isolati con inclinazione media i <= 15°.

T2: Pendii con inclinazione media $i > 15^{\circ}$.

T3: Rilievi con larghezza in cresta molto minore che alla base e inclinazione media $15^{\circ} <= i <= 30^{\circ}$.

T4: Rilievi con larghezza in cresta molto minore che alla base e inclinazione media i > 30°.

PRINCIPALI ELEMENTI ANALISI SISMICA

Dir	Mstr	MsLu	M _{Ecc,} SLU	M _{SLD}	M _{Ecc,SLD}	%T.M _{Ecc}	$\Sigma V_{Ed,SLU}$
	[N·s²/m]	[N·s²/m]	[N·s²/m]	[N·s²/m]	[N·s²/m]	[%]	[N]
X	19 026	1 810	1 688	1 810	1 688	93,26	3 607
Y	19 026	1 810	1 737	1 810	1 737	95,93	2 637
Z	19 026	0	0	0	0	100,00	0

LEGENDA:

Dir Direzione del sisma.

 Mstr
 Massa complessiva della struttura.

 Mslu
 Massa eccitabile allo SLU.

 Mecc,SLU
 Massa Eccitata dal sisma allo SLU.

M_{SLD} Massa eccitabile della struttura allo SLD, nelle direzioni X, Y, Z.

Megasup Massa Eccitata dal sisma allo SLD.

 $\%T.M_{\text{Ecc}}$ Percentuale Totale di Masse Eccitate dal sisma. $\Sigma V_{\text{Ed,SLU}}$ Tagliante totale, alla base, per sisma allo SLU.

PARETI

Pareti

C	2 _m	Н	m	C			Mtrl	AA	Clc Fnd	Stz
Iniz.	Fin.	Iniz.	Fin.	Sp	Lm	Am	IVILII	AA	CIC FIId	312
[m]	[m]	[m]	[m]	[cm]	[m]	[m²]				
Piano Terra					Parete P1-P	2				
Parete P1-P2	2									
0,00	0,00	2,15	2,15	0,25	1,00	2,15	001	PCA	NO	Р
					SHELL					
[00045-00026	-000031	[00001-00043-00	00201 [[00001-00021-0004	13] [0004	47-00024-00025]	[00022-00	0002-000441	[00017-0004	16-000421
00017-00018	-000461	00018-00019-00	047i i	 00018-00047-000	:000 i	19-00020-000481	[00044-00	0002-000231	00019-0004	18-000471
[00028-00045	-	[00046-00026-00	- '	00048-00022-0004	- -	48-00044-00023		0022-000481	[00048-0002	_
[00020-00043	-	[00027-00046-00	- '	00048-00023-0002		46-00047-000251		0025-000261	[00046-0004	-
[00004-00042-00027]		[00004-00017-00	- '	00043-00021-0004		42-00046-00027				

Quota dell'elemento nel punto iniziale e finale, valutata, rispetto al piano di appartenenza, negli estremi inferiori della parete. Altezza dell'elemento nel punto iniziale e finale, valutata rispetto alla base inferiore. $\begin{array}{c}Q_m\\H_m\end{array}$

Spessore dell'elemento. Sp Lunghezza dell'elemento.

Area dell'elemento. A_m Mtrl Identificativo del materiale.

Identificativo dell'aggressività dell'ambiente: [PCA] = Ordinarie (Poco aggressivo) - [MDA] = Aggressive (Moderatamente aggressivo) - [MLA] = Molto AA

aggressive. [Si] = elemento progettato attraverso una modalità di rispetto della Gerarchia delle Resistenze per le Fondazioni. [No] = elemento progettato con le sollecitazioni ottenute dall'analisi (senza nessuna modalità di rispetto della Gerarchia delle Resistenze per le Fondazioni). Tipo di situazione: [F] = di Fatto (Esistente); [P] = di Progetto (Nuovo). Shell in cui risulta suddiviso l'elemento. Clc Fnd

Stz

Shell

PLATEE

							Platee
	Lv	N _{id}	Sp	A _{EI}	Mtrl	Id _{Ter}	Clc Fnd
			[m]	[m²]			
Fondazione		1	0,50	2,65	001	T001	SI
				SHELL			
[00037-00035-00032]	[00036-00016-00008]	[00029-0	00033-00007]	[00029-00030-0004	1] [00029-00041-00	0033] [00027-0002	28-00039]
[00031-00039-00030]	[00039-00028-00014]	[00031-0	0004-00027	[00031-00027-0003	9] [00030-00039-00	0041] [00028-0003	37-00003]
[00035-00005-00032]	[00028-00003-00014]	[00037-0	00032-00003]	[00004-00038-0002	7] [00004-00011-00	0038] [00040-0001	.5-00016]
[00040-00016-00036]	[00033-00036-00010]	[00009-0	0036-00008	[00007-00033-0001	0] [00013-00005-00	0035] [00011-0003	84-00038]
[00010-00036-00009]	[00006-00012-00034]	[00039-0	00014-00015]	[00039-00015-0004	0] [00012-00013-00	0035] [00038-0003	35-00037
[00038-00028-00027]	[00033-00041-00040]	[00034-0	0012-00035	[00038-00037-0002	8] [00041-00039-00	0040] [00033-0004	10-00036]
[00034-00035-00038]	[00011-00006-00034]						_

LEGENDA:

Lv Identificativo del livello, nella relativa tabella.

Nid Numero identificativo della platea. Mtrl Identificativo del materiale.

I d_{Ter} Identificativo del terreno, nella relativa tabella.

Clc Fnd [Si] = elemento progettato attraverso una modalità di rispetto della Gerarchia delle Resistenze per le Fondazioni. [No] = elemento progettato con le

sollecitazioni ottenute dall'analisi (senza nessuna modalità di rispetto della Gerarchia delle Resistenze per le Fondazioni).

Shell in cui risulta suddiviso l'elemento. Shell

CARICHI SULLE PARETI

														Carichi s	ulle pareti
TC	Shell	С	CC	SR	Br	Disi	Q _{X/1,i}	Q _{Y/2,i}	Q _{Z/3,i}	$M_{T,i}$	Disf	Q _{X/1,f}	Q _{Y/2,f}	Q _{Z/3,f}	$M_{T,f}$
	_					[m]	[N/m;N/m ²]	[N/m;N/m ²]	[N/m;N/m ²]	[N·m/m;N]	[m]	[N/m;N/m ²]	[N/m;N/m ²]	[N/m;N/m ²]	[N·m/m;N]
Piano	Terra			Paret	e P1-l		Parete P1	-P2					Peso prop	rio	-6 250
S	[00045-00026-00003]	CR001	003	L	-	0,00	0	0	12 705	-	-	-	-	-	-
S	[00045-00026-00003]	CR001	004	L	-	0,00	0	0	13 759	-	-	-	-	-	-
S	[00001-00043-00020]	CR001	003	L	-	0,00	0	0	1 414	-	-	-	-	-	-
S	[00001-00043-00020]	CR001	004	L	-	0,00	0	0	1 531	-	-	-	-	-	-
S	[00001-00021-00043]	CR001	003	L	-	0,00	0	0	473	-	-	-	-	-	-
S	[00001-00021-00043]	CR001	004	L	-	0,00	0	0	512	-	-	-	-	-	-
S	[00047-00024-00025]	CR001	003	L	-	0,00	0	0	7 059	-	-	-	-	-	-
S	[00047-00024-00025]	CR001	004	L	-	0,00	0	0	7 645	-	-	-	-	-	-
S	[00022-00002-00044]	CR001	003	L	-	0,00	0	0	473	-	-	-	-	-	-
S	[00022-00002-00044]	CR001	004	L	-	0,00	0	0	512	-	-	-	-	-	-
S	[00017-00046-00042]	CR001	003	L	-	0,00	0	0	11 920	-	-	-	-	-	-
S	[00017-00046-00042]	CR001	004	L	-	0,00	0	0	12 909	-	-	-	-	-	-
S	[00017-00018-00046]	CR001	003	L	-	0,00	0	0	10 510	-	-	-	-	-	-
S	[00017-00018-00046]	CR001	004	L	-	0,00	0	0	11 382	-	-	-	-	-	-
S	[00018-00019-00047]	CR001	003	L	-	0,00	0	0	7 059	-	-	-	-	-	-
S	[00018-00019-00047]	CR001	004	L	-	0,00	0	0	7 645	-	-	-	-	-	-
S	[00018-00047-00046]	CR001	003	L	-	0,00	0	0	9 098	-	-	-	-	-	-
S	[00018-00047-00046]	CR001	004	L	-	0,00	0	0	9 853	-	-	-	-	-	-
S	[00019-00020-00048]	CR001	003	L	-	0,00	0	0	3 608	-	-	-	-	-	-
S	[00019-00020-00048]	CR001	004	L	-	0,00	0	0	3 907	-	-	-	-	-	-
S	[00044-00002-00023]	CR001	003	L	-	0,00	0	0	1 414	-	-	-	-	-	-
S	[00044-00002-00023]	CR001	004	L	-	0,00	0	0	1 531	-	-	-	-	-	-
S	[00019-00048-00047]	CR001	003	L	-	0,00	0	0	5 020	-	-	-	-	-	-
S	[00019-00048-00047]	CR001	004	L	-	0,00	0	0	5 436	-	-	-	-	-	-
S	[00028-00045-00003]	CR001	003	L	-	0,00	0	0	13 646	-	-	-	-	-	-
S	[00028-00045-00003]	CR001	004	L	-	0,00	0	0	14 778	-	-	-	-	-	-
S	[00046-00026-00045]	CR001	003	L	-	0,00	0	0	11 920	-	-	-	-	-	-

	Carichi sulle par												ulle pareti		
TC	Shell	С	CC	SR	Br	Disi	Q _{X/1,i}	Q _{Y/2,i}	$Q_{Z/3,i}$	$M_{T,i}$	Disf	Q _{X/1,f}	$Q_{Y/2,f}$	Q _{Z/3,f}	$M_{T,f}$
						[m]	[N/m;N/m ²]	[N/m;N/m ²]	[N/m;N/m ²]	[N·m/m;N]	[m]	[N/m;N/m ²]	[N/m;N/m ²]	[N/m;N/m ²]	[N·m/m;N]
S	[00046-00026-00045]	CR001	004	L	-	0,00	0	0	12 909	-	-	-	-	-	-
S	[00048-00022-00044]	CR001	003	L	-	0,00	0	0	1 257	-	-	-	-	-	-
S	[00048-00022-00044]	CR001	004	L	-	0,00	0	0	1 361	-	-	-	-	-	-
S	[00048-00044-00023]	CR001	003	L	-	0,00	0	0	2 198	-	-	-	-	-	-
S	[00048-00044-00023]	CR001	004	L	-	0,00	0	0	2 381	-	-	-	-	-	-
S	[00021-00022-00048]	CR001	003	L	-	0,00	0	0	784	-	-	-	-	-	-
S	[00021-00022-00048]	CR001	004	L	-	0,00	0	0	849	-	-	-	-	-	-
S	[00048-00024-00047]	CR001	003	L	-	0,00	0	0	5 020	-	-	-	-	-	-
S	[00048-00024-00047]	CR001	004	L	-	0,00	0	0	5 436	-	-	-	-	-	-
S	[00020-00043-00048]	CR001	003	L	-	0,00	0	0	2 198	-	-	-	-	-	-
S	[00020-00043-00048]	CR001	004	L	-	0,00	0	0	2 381	-	-	-	_	-	-
S	[00027-00046-00028]	CR001	003	L	-	0,00	0	0	13 334	-	-	-	-	-	-
S	[00027-00046-00028]	CR001	004	L	-	0,00	0	0	14 440	-	-	-	_	-	-
S	[00048-00023-00024]	CR001	003	L	-	0,00	0	0	3 608	-	-	-	-	-	-
S	[00048-00023-00024]	CR001	004	L	-	0,00	0	0	3 907	-	-	-	-	-	-
S	[00046-00047-00025]	CR001	003	L	-	0,00	0	0	9 098	-	-	-	-	-	-
S	[00046-00047-00025]	CR001	004	L	-	0,00	0	0	9 853	-	-	-	_	-	-
S	[00046-00025-00026]	CR001	003	L	-	0,00	0	0	10 510	-	-	-	-	-	-
S	[00046-00025-00026]	CR001	004	L	-	0,00	0	0	11 382	-	-	-	_	-	-
S	[00046-00045-00028]	CR001	003	L	-	0,00	0	0	12 861	-	-	-	-	-	-
S	[00046-00045-00028]	CR001	004	L	-	0,00	0	0	13 928	-	-	-	_	-	-
S	[00004-00042-00027]	CR001	003	L	-	0,00	0	0	13 646	-	-	-	-	-	-
S	[00004-00042-00027]	CR001	004	L	-	0,00	0	0	14 778	-	-	-	_	-	-
S	[00004-00017-00042]	CR001	003	L	-	0,00	0	0	12 705	-	-	-	-	-	-
S	[00004-00017-00042]	CR001	004	L	-	0,00	0	0	13 759	-	-	-	_	-	-
S	[00043-00021-00048]	CR001	003	L	-	0,00	0	0	1 257	-	-	-	-	-	-
S	[00043-00021-00048]	CR001	004	L	-	0,00	0	0	1 361	_	-	_	_	_	-
S	[00042-00046-00027]	CR001	003	L	-	0,00	0	0	12 861	-	-	-	-	-	-
S	[00042-00046-00027]	CR001	004	L	-	0,00	0	0	13 928	-	-	-	_	-	-

TC Descrizione del tipo di carico: [L] = Lineare - [C] = Concentrato - [S] = Superficiale - [T] = Termico.

C Descrizione del carico:

CR001= Spinta Terreno attiva (indagine geologica)

Identificativo della tipologia di carico nella relativa tabella.

SR Identificativo del sistema di riferimento considerato: [G] = Sistema di riferimento Globale X, Y, Z - [L] = Sistema di riferimento Locale 1, 2, 3.

Br Se la colonna "TC" riporta il valore "Lineare", indica la posizione del carico distribuito: [Sup] = carico applicato sul bordo superiore - [Inf] = Carico applicato sul bordo inferiore.

Disia Distanza del punto "i" dall'estremo iniziale dell'elemento. Il punto "i" indica il punto iniziale del tratto interessato dal carico distribuito sul bordo.

M_{T,i} Valore nel punto "i", del vettore momento (torcente) distribuito, sempre riferito all'asse 1 (asse della parete) del sistema di riferimento locale 1, 2, 3, quale che sia il sistema di riferimento indicato nella colonna "S.R".

Dist Distanza del punto "f" dall'estremo finale dell'elemento. Il punto "f" indica il punto finale del tratto interessato dal carico distribuito sul bordo.

M_{T,f} Valore nel punto "f", del vettore momento (torcente) distribuito, sempre riferito all'asse 1 (asse della parete) del sistema di riferimento locale 1, 2, 3, quale che sia il sistema di riferimento indicato nella colonna "S.R".

Q_{X/1,i}, Valore (nel punto iniziale della parete, "i") della forza distribuita riferita agli assi del sistema di riferimento indicato nella colonna "S.R".

 $\begin{array}{l}Q_{Y/2,i,}\\Q_{Z/3,i}\\Q_{X/1,f,}\end{array}$

CC

Valore (nel punto finale della parete, "f") della forza distribuita riferita agli assi del sistema di riferimento indicato nella colonna "S.R".

 $Q_{Y/2,f}$, $Q_{Z/3,f}$ ΔT

Differenza di temperatura fra le facce dell'elemento shell.

CARICHI SULLE PLATEE

							Carichi sulle platee
TC	Shell	С	CC	SR	Qx	Q _Y	Qz
					[N/m²]	[N/m²]	[N/m²]
Fondazio	ne Platea 1			Peso propr	io	-12 500	
S	-	CR001	002	G	0	0	-40 850
S	-	CR002	002	G	0	0	-10 000

LEGENDA:

TC Descrizione del tipo di carico: [L] = Lineare - [C] = Concentrato - [S] = Superficiale - [T] = Termico.

C Descrizione del carico:

CR001= PLATEA: Basamento muro sostegno (sovraccarico permanente) CR002= PLATEA: Basamento muro sostegno (sovraccarico accidentale)

CC Identificativo della tipologia di carico nella relativa tabella.

SR Identificativo del sistema di riferimento considerato: [G] = Sistema di riferimento Globale X, Y, Z - [L] = Sistema di riferimento Locale 1, 2, 3.

Qx, Qy, Valore della forza distribuita superficiale uniforme riferita agli assi del sistema di riferimento indicato nella colonna "S.R".

Qz

ΔT Differenza di temperatura fra le facce dell'elemento shell.

Pareti - TENSIONI PER EFFETTO DEL SISMA

Tarett Teleproteit Felt El Fel To Dec Stollin																			
	Pareti - tensioni per effetto del sisma																		
Nodo	σ L1	σ L2	τL	Nodo	σ L1	σ L2	τL	Nodo	σ L1	σ L2	τL	Nodo	σ L1	σ L2	τL	Nodo	σ L1	σ L2	τL
NOGO	σ _{P1}	σ P2	τp	Nouo	σ _{P1}	σ P2	τ _P	NOGO	σ _{P1}	σ P2	τP	NOUU	σ _{P1}	σ P2	τp	NOUU	σ _{P1}	σ P2	τp
	[N/mm ²]	[N/mm ²]	[N/mm ²]		[N/mm ²]	[N/mm ²]	[N/mm ²]		[N/mm ²]	[N/mm ²]	[N/mm ²]		[N/mm ²]	[N/mm ²]	[N/mm ²]		[N/mm ²]	[N/mm ²]	[N/mm ²]
Piano 1	Terra					Parete	P1-P2					Parete	P1-P2						
Sisma	in direzi	ione X																	
00045	0,047	0,008	0,006	00026	0,075	0,013	0,012	00003	0,073	0,020	0,004	00001	0,003	0,001	0,001	00043	0,003	0,001	0,005
	0,003	0,000	0.001		0,002	0,000	0,001		0,008	0,003	0,003		0,000	0,000	0,000		0,000	0,000	0,000

			Pareti - tensioni per effetto del sisma																
Nodo	σ L1	σ L2	τL	Nodo	σ L1	σ L2	τL	Nodo	σ L1	σ L2	τL	Nodo	σ L1	σ L2	τL	Nodo	σ L1	♂ L2	τL
14040	σ P1	σ P2	τP	14000	σ P1	σ P2	τP	14000	σ P1	σ P2	τp	14000	σ P1	σ P2	τP	Nouo	σ P1	σ P2	τP
	[N/mm ²]	[N/mm ²]	[N/mm ²]		[N/mm ²]	[N/mm ²]	[N/mm ²]		[N/mm ²]	[N/mm ²]	[N/mm ²]		[N/mm ²]	[N/mm ²]	[N/mm ²]		[N/mm ²]	[N/mm ²]	[N/mm ²]
00020	0,014	0,000	0,004	00021	0,000	0,003	0,005	00047	0,000	0,000	0,011	00024	0,020	0,006	0,005	00025	0,037	0,003	0,003
	0,000	0,000	0,000		0,000	0,001	0,000		0,001	0,000	0,000		0,001	0,000	0,001		0,001	0,000	0,001
00022	0,001	0,005	0,005	00002	0,004	0,002	0,001	00044	0,003	0,002	0,005	00017	0,075	0,013	0,012	00046	0,000	0,000	0,008
	0,000	0,000	0,000		0,000	0,000	0,001		0,000	0,000	0,000		0,001	0,000	0,001		0,001	0,000	0,000
00042	0,047	0,008	0,006	00018	0,037	0,003	0,003	00019	0,020	0,006	0,005	00048	0,000	0,000	0,009	00023	0,015	0,001	0,003
	0,002	0,000	0,001		0,001	0,000	0,000		0,000	0,000	0,001		0,000	0,000	0,000		0,000	0,000	0,000
00028	0,021	0,003	0,003	00027	0,021	0,003	0,003	00004	0,073	0,020	0,004								
	0,003	0,001	0,003		0,002	0,000	0,003		0,007	0,003	0,002								
Sisma	in direzi	one Y				·				·	·								
00045	0,001	0,001	0,000	00026	0,001	0,001	0,001	00003	0,000	0,001	0,001	00001	0,000	0,000	0,000	00043	0,000	0,000	0,000
	0,308	0,054	0,019		0,276	0,009	0,021		0,318	0,049	0,014		0,003	0,004	0,006		0,018	0,010	0,000
00020	0,000	0,000	0,000	00021	0,000	0,000	0,000	00047	0,001	0,000	0,000	00024	0,000	0,000	0,000	00025	0,000	0,000	0,000
	0,045	0,006	0,000		0,000	0,016	0,003		0,146	0,004	0,001		0,107	0,008	0,013		0,188	0,000	0,009
00022	0,000	0,000	0,000	00002	0,000	0,000	0,000	00044	0,000	0,000	0,000	00017	0,001	0,001	0,001	00046	0,001	0,001	0,000
	0,000	0,017	0,000		0,003	0,003	0,007		0,019	0,009	0,001		0,276	0,009	0,022		0,275	0,037	0,001
00042	0,001	0,001	0,000	00018	0,001	0,000	0,000	00019	0,000	0,000	0,000	00048	0,000	0,000	0,000	00023	0,000	0,000	0,000
33012	0,307	0,053	0,019	33310	0,188	0,000	0,008	00015	0,107	0,008	0,011	00010	0,039	0,005	0,001	00020	0,046	0,005	0,002
00028	0,001	0,000	0,000	00027	0,001	0,000	0,000	00004	0,000	0,001	0,001		3,000	3,003	3,001		3,010	3,003	3,002
00020	0,379	0,000	0,000	00027	0,377	0,087	0,000	00001	0,315	0,048	0,001								
	0,3/9	0,000	0,001		0,3//	0,007	0,001		0,515	0,040	0,014								

 τ_{L}

 $\begin{array}{lll} \sigma_{P1} & \text{Tensione normale in direzione 1 per comportamento a piastra.} \\ \sigma_{P2} & \text{Tensione normale in direzione 2 per comportamento a piastra.} \\ \tau_{P} & \text{Tensione tangenziale 1-2 per comportamento a piastra.} \\ \sigma_{L1} & \text{Tensione normale in direzione 1 per comportamento a lastra.} \\ \sigma_{L2} & \text{Tensione normale in direzione 2 per comportamento a lastra.} \end{array}$

Tensione tangenziale 1-2 per comportamento a lastra.

Platee - TENSIONI PER EFFETTO DEL SISMA

								Platee - tensioni per effetto del sisma							
Nodo	σ L1	σ _{L2}	τL	Nodo	σ _{L1}	σ _{L2}	τL	Nodo	σ L1	σ _{L2}	τι	Nodo	σ L1	σ L2	τL
NOGO	σ _{P1}	σ P2	τ _P	NOGO	σ _{P1}	σ P2	τ _P	Nodo	σ _{P1}	σ P2	τ _P	Nodo	σ _{P1}	σ P2	τ _P
	[N/mm ²]	[N/mm ²]	[N/mm ²]		[N/mm ²]	[N/mm ²]	[N/mm ²]		[N/mm ²]	[N/mm ²]	[N/mm ²]		[N/mm ²]	[N/mm ²]	[N/mm ²]
Fondazio					Platea 1										
	direzione				T				T						
00037	0,000	0,000	0,000	00035	0,000	0,000	0,000	00032	0,000	0,000	0,000	00036	0,000	0,000	0,000
	0,001	0,007	0,004		0,003	0,002	0,004		0,002	0,003	0,004		0,003	0,005	0,007
00016	0,000	0,000	0,000	80000	0,000	0,000	0,000	00029	0,000	0,000	0,000	00033	0,000	0,000	0,000
	0,003	0,008	0,009		0,000	0,001	0,006		0,003	0,007	0,009		0,004	0,004	0,007
00007	0,000	0,000	0,000	00030	0,000	0,000	0,000	00041	0,000	0,000	0,000	00027	0,000	0,000	0,000
	0,001	0,000	0,005		0,005	0,009	0,015		0,002	0,006	0,012		0,009	0,020	0,007
00028	0,000	0,000	0,000	00039	0,000	0,000	0,000	00031	0,000	0,000	0,000	00014	0,000	0,000	0,000
	0,009	0,014	0,007		0,000	0,000	0,022		0,002	0,004	0,021		0,002	0,004	0,021
00004	0,000	0,000	0,000	00003	0,000	0,000	0,000	00005	0,000	0,000	0,000	00038	0,000	0,000	0,000
	0,010	0,040	0,007		0,010	0,039	0,007		0,000	0,000	0,004		0,002	0,003	0,005
00011	0,000	0,000	0,000	00040	0,000	0,000	0,000	00015	0,000	0,000	0,000	00010	0,000	0,000	0,000
	0,002	0,004	0,004		0,003	0,007	0,012		0,005	0,011	0,015		0,004	0,001	0,006
00009	0,000	0,000	0,000	00013	0,000	0,000	0,000	00034	0,000	0,000	0,000	00006	0,000	0,000	0,000
	0,004	0,001	0,005		0,003	0,001	0,004		0,003	0,002	0,004		0,001	0,000	0,004
00012	0,000	0,000	0,000												
	0,003	0,001	0,004												
	direzione														
00037	0,001	0,001	0,000	00035	0,000	0,000	0,000	00032	0,000	0,000	0,001	00036	0,000	0,000	0,000
	0,004	0,014	0,001		0,000	0,002	0,001		0,000	0,008	0,001		0,001	0,002	0,000
00016	0,000	0,000	0,000	80000	0,000	0,000	0,000	00029	0,000	0,000	0,000	00033	0,000	0,000	0,000
	0,000	0,006	0,002		0,000	0,001	0,000		0,000	0,008	0,002		0,002	0,002	0,001
00007	0,000	0,000	0,000	00030	0,000	0,000	0,000	00041	0,000	0,000	0,000	00027	0,000	0,001	0,001
	0,000	0,000	0,001		0,000	0,022	0,003		0,000	0,015	0,000		0,004	0,027	0,001
00028	0,000	0,001	0,001	00039	0,000	0,000	0,000	00031	0,002	0,001	0,001	00014	0,002	0,001	0,001
	0,002	0,019	0,000		0,005	0,043	0,000		0,000	0,045	0,003		0,000	0,045	0,003
00004	0,001	0,000	0,000	00003	0,001	0,000	0,000	00005	0,000	0,000	0,000	00038	0,000	0,000	0,000
	0,000	0,006	0,001		0,000	0,006	0,001		0,000	0,000	0,000		0,004	0,013	0,001
00011	0,000	0,000	0,001	00040	0,000	0,000	0,000	00015	0,000	0,000	0,000	00010	0,000	0,000	0,000
	0,000	0,007	0,001		0,000	0,014	0,000		0,001	0,022	0,003		0,003	0,000	0,001
00009	0,000	0,000	0,000	00013	0,000	0,000	0,000	00034	0,000	0,000	0,000	00006	0,000	0,000	0,000
	0,001	0,000	0,000		0,000	0,000	0,000		0,000	0,002	0,001		0,000	0,000	0,000
00012	0,000	0,000	0,000												
	0,000	0,000	0,000												

LEGENDA:

 $\begin{array}{lll} \sigma_{P1} & \text{Tensione normale in direzione 1 per comportamento a piastra.} \\ \sigma_{P2} & \text{Tensione normale in direzione 2 per comportamento a piastra.} \\ \tau_{P} & \text{Tensione tangenziale 1-2 per comportamento a piastra.} \\ \sigma_{L1} & \text{Tensione normale in direzione 1 per comportamento a lastra.} \\ \sigma_{L2} & \text{Tensione normale in direzione 2 per comportamento a lastra.} \\ \tau_{L} & \text{Tensione tangenziale 1-2 per comportamento a lastra.} \end{array}$

NODI - REAZIONI VINCOLARI ESTERNE PER EFFETTO DEL SISMA

					Nodi - Reazio	ni vincolari esterne p	er effetto del sisma
I d _{Nd}	Dir	Fx	Fy	Fz	M _X	M _Y	Mz
00003		[N]	[N] 14	[N] 3 120	[N·m] 15	[N·m]	[N·m] 4
00003 00003	X Y	1 011 135	622	110	537	85 7	118
00003	ż	0	0	0	0	0	0
00004	X	1 018	13	3 121	12	85	3
00004	Y	132	644	120	531	7	117
00004	Z	0	0	0	0	0	0
00005	X	0	0	0	0	0	0
00005	Y	0	1	0	0	0	0
00005	Z	0	0	0	0	0	0
00006	X	0	0	0	0	0	0
00006	Y	0	0	0	0	0	0
00006	Z	0	0	0	0	0	0
00007	X	0	0	0	0	0	0
00007	Y	0	0	0	0	0	0
00007	Z	0	0	0	0	0	0
00008 00008	X	0	0 0	0	0	0	0
00008	Z	0	0	0	0	0	0
00009	X	0	0	0	0	0	0
00009	Ŷ	o o	Ö	Ŏ	ő	Ŏ	0
00009	Z	0	0	0	o o	0	0
00010	Х	0	0	0	0	0	0
00010	Y	0	0	0	0	0	0
00010	Z	0	0	0	0	0	0
00011	X	1	0	0	0	0	0
00011	Y	26	16	0	0	0	0
00011	Z	0	0	0	0	0	0
00012	X	0	0	0	0	0	0
00012	Y	1	0	0	0	0	0
00012	Z	0	0	0	0	0	0
00013	X	0	0	0	0	0	0
00013 00013	Y Z	0	0 0	0	0	0	0 0
00013	X	4	4	0	0	0	0
00014	Ŷ	99	102	0	0	0	0
00014	Ż	0	0	0	0	0	0
00015	X	0	1	0	0	0	0
00015	Ϋ́	13	18	0	o o	0	0
00015	Z	0	0	0	0	0	0
00016	X	0	0	0	0	0	0
00016	Y	0	0	0	0	0	0
00016	Z	0	0	0	0	0	0
00027	X	128	16	2 073	7	164	0
00027	Y	48	1 489	151	1 288	9	12
00027	Z	0	0	0	0	0	0
00028	X	140	17	2 093	10	172	0
00028 00028	Y Z	45 0	1 509 0	149 0	1 292 0	8 0	12 0
00028	X	0	0	0	0	0	0
00029	Ŷ	0	0	0	0	0	0
00029	ż	o o	Ö	Ŏ	ő	Ŏ	0
00030	X	0	1	0	0	0	0
00030	Ϋ́	13	18	ő	ő	ő	0
00030	Ž	0	0	0	0	0	0
00031	X	3	3	0	0	0	0
00031	Y	98	100	0	0	0	0
00031	Z	0	0	0	0	0	0
00032	X	1	1	0	0	0	0
00032	Y	29	17	0	0	0	0
00032	Z	0	0	0	0	0	0
00033 00033	X	0	0 0	0	0	0	0
00033	Z	0	0	0	0	0	0
00033	X	0	0	0	0	0	0
00034	Ŷ	0	0	0	0	0	0
00034	ž	0	0	ő	ő	ő	0
00035	X	0	0	0	0	0	0
00035	Y	0	1	0	0	0	0
00035	Z	0	0	0	0	0	0
00036	X	0	0	0	0	0	0
00036	Y	0	0	0	0	0	0
00036	Z	0	0	0	0	0	0
00037	X	5	2	0	0	0	0
00037	Y	137	52	0	0	0	0
00037	Z	0	0	0	0	0	0
00038	X	4	2	0	0	0	0
00038 00038	Y	137	60 0	0	0	0	0
00038	Z	0	0	0	0	0	0
00039	X	U	U	U	U	ı U	U

					Nodi - Reazio	ni vincolari esterne p	er effetto del sisma
Id _{Nd}	Dir	F _X	F _Y	Fz	M _X	M _Y	Mz
		[N]	[N]	[N]	[N·m]	[N·m]	[N·m]
00039	Υ	2	30	0	0	0	0
00039	Z	0	0	0	0	0	0
00040	X	0	0	0	0	0	0
00040	Y	0	2	0	0	0	0
00040	Z	0	0	0	0	0	0
00041	X	0	0	0	0	0	0
00041	Y	0	2	0	0	0	0
00041	Z	0	0	0	0	0	0

IdNdIdentificativo del nodo.DirDirezione del sisma.

F_X, F_Y, Reazioni vincolari relative al sistema di riferimento globale X, Y, Z.

 $F_{z},\,M_{x},\\M_{Y},\,M_{z}$

EDIFICIO - VERIFICHE DI RIPARTIZIONE DELLE FORZE SISMICHE

					Edificio - Veri	fiche di ripartizione	delle forze sismiche
Dir	V _{T,tot}	V _{T,PiI}	% _{T,Pil}	V _{T,Set}	%T,Set	V _{T,atr}	% _{T,atr}
	[N]	[N]	[%]	[N]	[%]	[N]	[%]
X	1 691	0	0,0	0	0,0	1 691	100,0
Y	964	0	0,0	0	0,0	964	100,0

LEGENDA:

 $V_{T,tot}$ Taglio totale alla quota Zero Sismico (nella direzione X o Y).

 $V_{T,Pil}$ Taglio totale alla quota Zero Sismico assorbito dai pilastri (nella direzione X o Y).

%_{T,Pil} Percentuale del Taglio totale alla quota Zero Sismico assorbito dai pilastri (nella direzione X o Y).

V_{T,Set} Taglio totale alla quota Zero Sismico assorbito dai setti (nella direzione X o Y).

 $\%_{T,Set}$ Percentuale del Taglio totale alla quota Zero Sismico assorbito dai setti (nella direzione X o Y). Taglio totale alla quota Zero Sismico NON assorbito dai pilastri e dai setti (nella direzione X o Y).

%T,atr Percentuale del Taglio totale alla quota Zero Sismico NON assorbito dai pilastri e dai setti (nella direzione X o Y).

Pareti - VERIFICHE PRESSOFLESSIONE RETTA ALLO SLU (Elevazione)

	Pareti - Verifiche pressoflessione retta allo SLU																		
Dir	Pos	Nod	N _{Ed}	M _{Ed}	As	Adf	cs	Nod	N _{Ed}	M _{Ed}	As	Adf	cs	Nod	N _{Ed}	M _{Ed}	As	Adf	cs
		0	[N]	[N·m]	[cm²/cm]	[cm²/cm]		U	[N]	[N·m]	[cm²/cm]	[cm²/cm]		0	[N]	[N·m]	[cm²/cm]	[cm²/cm]	
Piano	Terra					rete P1	-P2									Parete			
P	Α	0000	0	0	0,062	0,062	_	0000	-5 760	69	0,062	0,062	NS	0000	-14	14	0,062	0,062	3,74
	,,	1			83 0,062	83		2	0.00		83 0,062	83		3	031	414	83	83 0,062	3,7 .
	P		-4 145	20	83	0,062 83	NS		-5 760	69	83	0,062 83	NS		0	0	0,062 83	83	-
					0,062	0,062					0,062	0,062					0,062	0,062	
S	Α		-760	124	83	83	NS		-284	195	83	83	NS		-2 699	2 588	83	83	20,38
	P		-760	152	0,062	0,062	NS		-284	223	0,062	0,062	NS		0	0	0,062	0,062	_
	·	0000			83	83		0001			83	83		0001			83	83	
Р	Α	0000	-13 442	14 373	0,062 83	0,062 83	3,74	0001 7	-11 996	9 145	0,062 83	0,062 83	5,87	0001	-10 543	4 520	0,062 83	0,062 83	11,84
	_	1			0,062	0,062		′		_	0,062	0,062		"		_	0,062	0,062	
	P		0	0	83	83	-		0	0	83	83	-		0	0	83	83	-
S	Α		-2 487	2 577	0,062	0,062	20,46		-598	361	0,062	0,062	NS		0	0	0,062	0,062	_
	_ ^		2 107	2 3//	83	83	20,10		330	301	83	83	113				83	83	
	Р		0	0	0,062 83	0,062 83	-		0	0	0,062 83	0,062 83	-		324	572	0,062 83	0,062 83	91,68
		0001			0,062	0,062		0002			0,062	0,062		0002	_	_	0,062	0,062	
P	Α	9	-8 015	1 739	83	83	30,62	0	-7 307	538	83	83	98,86	1	0	0	83	83	-
	P		-8 015	493	0,062	0,062	NS		-7 307	426	0,062	0,062	NS		0	0	0,062	0,062	_
	'		0 013	733	83	83	INS		7 307	720	83	83	143		U	0	83	83	
S	Α		0	0	0,062 83	0,062 83	-		0	0	0,062 83	0,062 83	-		2 157	42	0,062 83	0,062 83	NS
					0,062	0,062					0,062	0,062					0,062	0,062	
	P		272	172	83	83	NS		-192	113	83	83	NS		2 157	304	83	83	NS
Р	Α	0002	0	0	0,062	0,062	_	0002	-8 574	528	0,062	0,062	NS	0002	-8 576	1 740	0,062	0,062	30,64
-	_ ^	2	0	0	83	83	_	3	-0 3/4	320	83	83	INS	4	-0 3/0	1 / 40	83	83	30,04
	Р		0	0	0,062 83	0,062 83	-		-8 574	416	0,062 83	0,062 83	NS		-8 576	494	0,062 83	0,062 83	NS
					0,062	0,062					0,062	0,062					0,062	0,062	
S	Α		3 092	46	83	83	NS		0	0	83	83	-		0	0	83	83	-
	P		3 092	308	0,062	0,062	NS		-734	105	0,062	0,062	NS		102	178	0,062	0,062	NS
	г			300	83	83	INO			103	83	83	INS				83	83	INS
Р	Α	0002	-11	4 525	0,062	0,062	11,84	0002	-12	9 184	0,062	0,062	5,85	0002	-14	16	0,062	0,062	3,29
		5	114		83 0,062	83 0,062	,	6	704		83 0,062	83 0,062	,	7	389 -16	386	83 0,062	83 0,062	,
	P		0	0	83	83	-		0	0	83	83	-		691	26	83	83	NS
S	_		0	0	0,062	0,062	_		-685	358	0,062	0,062	NS			4 056	0,062	0,062	12.01
5	Α		0	U	83	83	-		-085	358	83	83	INS		-2 877	4 056	83	83	13,01
	Р		253	571	0,062	0,062	91,85		0	0	0,062	0,062	_		-2 875	13	0,062	0,062	NS
	· ·	0002		16	83	83		0004	-13	12	83	83		0004			83	83	
P	Α	8	-14 640	495	0,062 83	0,062 83	3,27	0004	-13 617	096	0,062 83	0,062 83	4,45	0004	-5 016	191	0,062 83	0,062 83	NS
		U	0-10	175	05	05			017	0,00	05	05	I	, ,	l	l	05	05	

Pareti - Verifiche pressoflessione retta allo SLU Nod Nod Nod cs Dir Pos NEd M_{Ed} \mathbf{A}_{s} Adf CS NEd M_{Ed} \mathbf{A}_{s} A_{df} N_{Ed} A_s Adf CS [cm²/cm] [cm²/cm] [cm²/cm] [cm²/cm] [cm²/cm] [N·m] [N·m] [cm²/cm] [N] [N] [N] [N·m] -16 0,062 0,062 0,062 0,062 0,062 0,062 0 -5 016 187 13 NS 0 NS 723 83 83 83 83 83 83 0,062 0.062 0.062 0.062 0.062 0.062 S -2 947 4 082 12,92 -2 154 2 162 24,37 0 0 83 83 83 83 83 83 0,062 0,062 0,062 0,062 0,062 0,062 0 0 O 0 237 205 NS 83 83 83 83 83 83 12 0004 0,062 0,062 0004 -14 0,062 0,062 0004 -14 0,062 0,062 Ρ Α -5 647 200 NS 4,44 9 384 5,75 83 83 5 076 119 83 83 6 832 83 83 0,062 0,062 0,062 0,062 0,062 0,062 Р 0 -5 647 196 NS 0 0 0 83 83 83 83 83 83 0,062 0,062 0,062 0,062 0,062 0,062 0 0 -2 178 2 183 -1 934 1 076 S 24,13 48,94 Α 83 83 83 83 83 83 0,062 0,062 0,062 0,062 0,062 0,062 Ρ 0 0 0 0 516 212 NS 83 83 83 83 83 0004 -11 0,062 0,062 0004 0,062 0,062 2 815 -7 130 Р 19,05 NS 414 Α 829 83 83 8 83 83 0,062 0,062 0,062 0,062 -11 Р 233 NS 408 NS -7130829 83 83 83 83 0,062 0,062 0,062 0,062 S Α 0 0 0 0 83 83 83 83 0,062 0,062 0,062 0,062 35 243 NS 921 174 NS 83

LEGENDA:

Dir Direzione [P] = principale (asse locale 1) - [S] = secondaria (asse locale 2).

Pos Posizione [A] = anteriore - [P] = posteriore.

As Area delle armature esecutive per unità di lunghezza.

Adf Armatura disponibile per la flessione

CS Coefficiente di sicurezza ([NS] = Non Significativo se CS ≥ 100; [VNR]= Verifica Non Richiesta; Informazioni aggiuntive sulla condizione: [V] = statica; [E] =

eccezionale; [S] = sismica; [N] = sismica non lineare).

 N_{Ed} , M_{Ed} Sollecitazioni di progetto ($N_{Ed} > 0$: compressione).

Pareti - VERIFICHE A TAGLIO PER PRESSOFLESSIONE RETTA ALLO SLU (Elevazione)

	Pareti - Verifiche a taglio per pressoflessione retta allo SLU IdNd Ved 2 CS Vecd Vesd's Ned Vesd'p Ved Vfd Ctq@ Asw Adw										
I d _{Nd}	$V_{Ed,2}$	CS	V _{Rcd}	$V_{Rsd,s}$	N _{Ed}	$V_{Rsd,p}$	V_{R1}	V_{fd}	Ctg⊛	Asw	A _{dw}
	[N]		[N]	[N]	[N]	[N]	[N]	[N]		[cm²/cm]	[cm²/cm]
Piano Terra			Parete P1-P2						Parete P1-P2	2	
00001	347	NS	100 977	0	1 158	0	0	0	0,00	0,0628	0,00000
00002	437	NS	100 946	0	949	0	0	0	0,00	0,0628	0,00000
00003	2 397	42,05	100 804	0	-647	0	0	0	0,00	0,0628	0,00000
00004	2 573	39,73	102 217	0	9 425	0	0	0	0,00	0,0628	0,00000
00017	4 171	24,36	101 587	0	5 224	0	0	0	0,00	0,0628	0,00000
00018	1 774	56,82	100 804	0	-982	0	0	0	0,00	0,0628	0,00000
00019	2 183	46,18	100 804	0	-1 305	0	0	0	0,00	0,0628	0,00000
00020	1 970	51,18	100 825	0	141	0	0	0	0,00	0,0628	0,00000
00021	2 145	46,99	100 804	0	-1 117	0	0	0	0,00	0,0628	0,00000
00022	2 377	42,41	100 804	0	-3 873	0	0	0	0,00	0,0628	0,00000
00023	2 202	45,85	100 971	0	1 114	0	0	0	0,00	0,0628	0,00000
00024	2 185	46,26	101 082	0	1 854	0	0	0	0,00	0,0628	0,00000
00025	1 789	56,39	100 887	0	553	0	0	0	0,00	0,0628	0,00000
00026	4 210	23,94	100 804	0	-1 521	0	0	0	0,00	0,0628	0,00000
00027	1 381	73,42	101 396	0	3 946	0	0	0	0,00	0,0628	0,00000
00028	1 288	78,55	101 167	0	2 424	0	0	0	0,00	0,0628	0,00000
00042	2 682	37,86	101 547	0	4 954	0	0	0	0,00	0,0628	0,00000
00043	1 341	75,17	100 804	0	-15	0	0	0	0,00	0,0628	0,00000
00044	1 434	70,30	100 804	0	-786	0	0	0	0,00	0,0628	0,00000
00045	2 659	37,96	100 943	0	926	0	0	0	0,00	0,0628	0,00000
00046	1 892	53,44	101 112	0	2 055	0	0	0	0,00	0,0628	0,00000
00047	7	NS	100 804	0	-35	0	0	0	0,00	0,0628	0,00000
00048	2 053	49,10	100 804	0	-679	0	0	0	0,00	0,0628	0,00000

LEGENDA:

Id_{Nd} Identificativo del nodo.

 $V_{\text{Ed,2}}$ Taglio di progetto in direzione 2.

CS Coefficienti di sicurezza relativi alle sollecitazioni " $V_{Ed,2}$ " ([NS] = Non Significativo per valori di CS >= 100).

 $\begin{array}{lll} \textbf{V}_{\text{Rcd}} & \text{Resistenza a taglio compressione del calcestruzzo.} \\ \textbf{V}_{\text{Rsd,s}} & \text{Resistenza a taglio trazione delle staffe.} \\ \textbf{N}_{\text{Ed}} & \text{Sforzo Normale utilizzato per il calcolo di } \alpha_{\text{C}}. \\ \textbf{V}_{\text{Rsd,p}} & \text{Resistenza a taglio trazione dei ferri piegati.} \\ \textbf{V}_{\text{R1}} & \text{Resistenza a taglio in assenza di armatura incrociata.} \\ \textbf{V}_{\text{fd}} & \text{Resistenza a taglio dovuta al rinforzo FRP.} \\ \textbf{Ctg} & \text{Cotangente dell'angolo } \Theta \text{ utilizzata nella verifica.} \\ \end{array}$

Asw Area delle staffe per unità di lunghezza.
 Adw Armatura disponibile per il taglio

Pareti - VERIFICHE DELLE TENSIONI DI ESERCIZIO (Elevazione)

Pareti - verifiche delle tensioni di esercizio

Nodo/	Dir		Coi	Compress mpressione	sione calce e calcestru)					zione accia cciaio/FRP			
Tp _{rnf}	DII	Id _{Cmb}	σος	σ cd,amm	N _{Ed}	M _{Ed}	cs	Verific ato	Id _{Cmb}	σ at	σ td,amm	N _{Ed}	M _{Ed}	cs	Verific ato
			[N/mm ²]	[N/mm ²]	[N]	[N·m]				[N/mm ²]	[N/mm ²]	[N]	[N·m]		
Piano Ter	ra			Parete P	1-P2				Parete P1-P2						
	D	RAR	1,042	14,94	16 600	11 546	14,34	SI	RAR	10,250	360,00	16 600	11 546	35,12	SI
00000	F	QPR	1,042	11,21	16 600	11 546	10,75	SI	-	-	-	-	-	-	-
00028		RAR	0,259	14,94	3 180	2 916	57,59	SI	RAR	2,645	360,00	3 180	2 916	NS	SI
	3	QPR	0,259	11,21	3 180	2 916	43,19	SI	-	-	-	-	-	-	-

Indica la presenza del rinforzo sulla sezione di verifica. Rinf.

Direzione [P] = principale (asse locale 1) - [S] = secondaria (asse locale 2). Dir

Identificativo della Combinazione di Azione: [QPR] = Quasi Permanente - [FRQ] = Frequente - [RAR] = Rara. 1dcmb

Tensione massima di compressione nel calcestruzzo della Trave/Rinforzo. σος Tensione ammissibile per la verifica a compressione del calcestruzzo. σ_{cd,ar} Tensione massima di trazione nell'acciaio della Trave/Rinforzo o nel FRP. σat $\sigma_{\text{td,amm}}$ Tensione ammissibile per la verifica a trazione dell'acciaio/rinforzo.

 N_{Ed} Sollecitazioni di progetto.

 M_{Ed} CS

Coefficiente di Sicurezza (= $\sigma_{cd, amm}/\sigma_{cc}$; $\sigma_{td, amm}/\sigma_{at}$). [NS] = Non Significativo (CS \geq 100).

Verific $[SI] = La \ verifica \ \grave{e} \ soddisfatta \ (\sigma_{cc} \leq \sigma_{cd,amm}; \ \sigma_{at} \leq \sigma_{td,amm}). \ [NO] = La \ verifica \ NON \ \grave{e} \ soddisfatta \ (\sigma_{cc} > \sigma_{cd,amm}; \ \sigma_{at} > \sigma_{td,amm}).$

ato

Nota Nella tabella, per ogni elemento, viene riportato il nodo della shell che ha il coefficiente di sicurezza (CS) più piccolo.

Pareti - VERIFICA ALLO STATO LIMITE DI FESSURAZIONE (Elevazione)

									Pareti - v	erifica allo	stato limi	te di fes	surazione
Nodo	Dir	Idcmb	Ned	Med	.	- .	_	Ae	Δsm	Wd	Wamm	cs	Verificat
Nouo	Dii	TUCMB	INEd	IVIEd	o ct,f	σt	Esm	Ae	Δsm	VVd	v v amm	03	О
			[N]	[N·m]	[N/mm ²]	[N/mm ²]		[cm ²]	[mm]	[mm]	[mm]		
Piano Terra	ı		Parete P	1-P2		A/	A= PCA			Parete P	1-P2		
NOTA: L'ele	mento NON	è fessurato.	Di seguito	si riporta il	l nodo stru	tturale per	la quale si	riscontra la	n massima te	ensione di t	trazione(m	ax σ _{ct,f})	
00028	D	FRQ	16 600	11 546	0,92	2,13	0 E+00	0	0	0,000	0,400	-	SI
	Г	QPR	16 600	11 546	0,92	2,13	0 E+00	0	0	0,000	0,300	-	SI
	c	FRQ	3 180	2 916	0,24	2,13	0 E+00	0	0	0,000	0,400	-	SI
	3	QPR	3 180	2 916	0,24	2,13	0 E+00	0	0	0,000	0,300	-	SI

LEGENDA:

Dir Direzione [P] = principale (asse locale 1) - [S] = secondaria (asse locale 2).

AΑ Identificativo dell'aggressività dell'ambiente: [PCA] = Ordinarie (Poco aggressivo) - [MDA] = Aggressive (Moderatamente aggressivo) - [MLA] = Molto

Identificativo della Combinazione di Azione: [QPR] = Quasi Permanente - [FRQ] = Frequente - [RAR] = Rara. I d_{Cmb}

Sollecitazioni di progetto. N_{Ed} , M_{Ed}

Tensione massima di trazione nel calcestruzzo per la fessurazione, calcolata nell'ipotesi di calcestruzzo resistente a trazione. Se tale valore è maggiore di σ_t la σct,f sezione è soggetta a fessurazione.

N.B. I valori negativi indicano una sezione interamente compressa. In tal caso le sollecitazioni forniscono il minimo valore di compressione.

Tensione massima di trazione nel calcestruzzo relativa allo stato limite di formazione delle fessure [relazione (4.1.37) del § 4.1.2.2.4.1 del DM 2008]. σt

€sm Deformazione media nel calcestruzzo. Ae Area efficace del calcestruzzo teso. Distanza media tra le fessure.

Valore di calcolo di apertura massima delle fessure. W_d

Wamm Valore ammissibile di apertura delle fessure.

Coefficiente di Sicurezza (= W_d/W_{amm}). [NS] = Non Significativo (CS \geq 100). [-] = Fessurazioni nulle ($W_d = 0$). CS

[SI] = $W_d \le W_{amm}$; [NO] = $W_d > W_{amm}$

PIANI - VERIFICHE REGOLARITÀ (Elevazione)

REGOLARITÁ DELLA STRUTTURA IN PIANTA	
la configurazione in pianta è compatta ossia la distribuzione di masse e rigidezze è approssimativamente simmetrica rispetto a due direzioni ortogonali e il contorno di ogni orizzontamento è convesso; il requisito può ritenersi soddisfatto, anche in presenza di rientranze in pianta, quando esse non influenzano significativamente la rigidezza nel piano dell'orizzontamento e, per ogni rientranza, l'area compresa tra il perimetro dell'orizzontamento e la linea convessa circoscritta all'orizzontamento non supera il 5% dell'area dell'orizzontamento;	SI
b) il rapporto tra i lati del rettangolo circoscritto alla pianta di ogni orizzontamento è inferiore a 4;	SI
ciascun orizzontamento ha una rigidezza nel proprio piano tanto maggiore della corrispondente rigidezza degli elementi strutturali verticali da potersi assumere che la sua deformazione in pianta influenzi in modo trascurabile la distribuzione delle azioni sismiche tra questi ultimi e ha resistenza sufficiente a garantire l'efficacia di tale distribuzione;	SI
La struttura è regolare i	in pianta.
REGOLARITÁ DELLA STRUTTURA IN ALTEZZA	
d) tutti i sistemi resistenti alle azioni orizzontali si estendono per tutta l'altezza della costruzione o, se sono presenti parti aventi differenti altezze, fino alla sommità della rispettiva parte dell'edificio;	SI
massa e rigidezza rimangono costanti o variano gradualmente, senza bruschi cambiamenti, dalla base alla sommità della costruzione (le variazioni di massa da un orizzontamento all'altro non superano il 25%, la rigidezza non si riduce da un orizzontamento a quello sovrastante più del 30% e non aumenta più del 10%); ai fini della rigidezza si possono considerare regolari in altezza strutture dotate di pareti o nuclei in c.a. o di pareti e nuclei in muratura di sezione costante sull'altezza o di telai controventati in acciaio, ai quali sia affidato almeno il 50% dell'azione sismica alla base;	SI
nelle strutture intelaiate, il rapporto tra la capacità e la domanda allo SLV non è significativamente diverso, in termini di resistenza, per orizzontamenti diversi (tale rapporto, calcolato per un generico orizzontamento, non deve differire più del 30% dall'analogo rapporto calcolato per l'orizzontamento adiacente); può fare eccezione l'ultimo orizzontamento di strutture intelaiate di almeno tre orizzontamenti;	SI
eventuali restringimenti della sezione orizzontale della costruzione avvengano con continuità da un orizzontamento al successivo; oppure avvengano in modo che il rientro di un orizzontamento non superi il 10% della dimensione corrispondente all'orizzontamento immediatamente sottostante, né il 30% della dimensione corrispondente al primo orizzontamento. Fa eccezione l'ultimo orizzontamento di costruzioni di almeno quattro orizzontamenti, per il quale non sono previste limitazioni di restringimento;	SI

									Pia	ni - Verifich	e Regolarità
1.4	0		D-4	1		K:	SLU	R	eff	R	ric
I d _{Piano}	ULv	H _{Lv}	Rd _{Tmp}	Ir _{Tmp}	MsLu	X	Υ	X	Υ	Х	Υ
	[m]	[m]			[N·s²/m]	[N/cm]	[N/cm]	[N]	[N]	[N]	[N]
Piano Terra	0,00	2,15	NO	NO	1 317	8 241	12 446	0	0	0	0

Identificativo del livello o piano.

Q_{Lv} Quota del livello o piano.

H_{Lv} Altezza del livello o piano.

Rd_{Tmp} Per i piani con riduzione dei tamponamenti, sono state incrementate le azioni di calcolo per gli elementi verticali (pilastri e pareti) di un fattore 1,4: [SI] =

Piano con riduzione dei tamponamenti - [NO] = Piano senza riduzione dei tamponamenti.

Ir_{Tmp} Per piani con distribuzione dei tamponamenti in pianta fortemente irregolare, l'eccentricità accidentale è stata incrementata di un fattore pari a 2: [SI] =

Distribuzione tamponamenti irregolare fortemente - [NO] = Distribuzione tamponamenti regolare.

Massa eccitabile della struttura allo S.L. Ultimo, nelle direzioni X, Y, Z.

K_{SLU} Valori delle Rigidezze di Piano, valutate allo SLU, riferite agli assi X ed Y del riferimento globale.

Reff
 Valori delle Resistenze Effettive di Piano, valutate allo SLU, relative al sistema di riferimento globale X, Y, Z.
 Rric
 Valori delle Resistenze Richieste di Piano, valutate allo SLU, relative al sistema di riferimento globale X, Y, Z.

(*) Vedi tabelle "Livelli o Piani" o "Solai e Balconi".

EFFETTI DELLE NON LINEARITÀ GEOMETRICHE PER SISMA (Elevazione)

							Effe	tti delle non li	nearità geometi	riche per sisma
I d _{Piano}	Q _{Lv}	H _{Lv}	$\delta_{d,X}$	$\delta_{d,Y}$	$P_{\theta,X}$	$P_{\theta,Y}$	$T_{\theta,X}$	$T_{\theta,Y}$	Θх	ΘY
	[m]	[m]	[cm]	[cm]	[N]	[N]	[N]	[N]	[rad]	[rad]
Piano Terra	0,00	2,15	0,4377	0,2119	17 756	17 756	3 607	2 637	1,0021 E-02	6,6353 E-03

LEGENDA:

Id_{Piano} Identificativo del livello o piano. H_{Lv} Altezza del livello o piano.

 $\begin{array}{lll} \delta_{d,X},\,\delta_{d,Y} & \text{Componenti dello spostamento differenziale rispetto al piano inferiore.} \\ P_{\theta,X},\,P_{\theta,z} & \text{Valori del carico verticale del piano utilizzato per il calcolo di "\theta".} \end{array}$

 $T_{\theta,X},\,T_{\theta,Y}$ Valori del tagliante di piano utilizzati per il calcolo di " θ ".

 θ_{x} , $\theta_{,y}$ Coefficienti " θ " del piano.

Nota Le forze sismiche orizzontali agenti sui piani caratterizzati da valori di θ compresi tra 0,1 e 0,2, sono state incrementate del fattore "1/(1-θ)", per portare in

conto gli effetti del secondo ordine.

PIANI - VERIFICHE AGLI SPOSTAMENTI

									Piani - Verifiche
I d _{Piano}	Q _{Lv}	H _{Lv}	δ _{d,X}	$\delta_{d,Y}$	$C_{lg}T_{mp}$	δlim	δlim- δd,X	δlim- δd,Y	Note
	[m]	[m]	[cm]	[cm]		[cm]	[cm]	[cm]	
Piano Terra	0,00	2,15	0,1386	0,2096	RF	1,0750	0,9364	0,8654	Verificato

LEGENDA:

Identificativo del livello o piano.

Q_{Lv} Quota del livello o piano.

H_{Lv} Altezza del livello o piano.

 $C_{lg}T_{mp}$ Tipo di collegamento delle tamponature alla struttura: [R] = Rigido - [E] = Elastico - [RF] = Rigidamente fragili - [RD] = Rigidamente Duttili.

 δ_{lim} Valore limite dello spostamento differenziale indicato dalla normativa. $\delta_{\text{d,X}}$, $\delta_{\text{d,Y}}$ Componenti dello spostamento differenziale rispetto al piano inferiore.

PLATEE - VERIFICHE PRESSOFLESSIONE RETTA ALLO SLU (Fondazione)

														Plat	ee - Ve	rifiche p	ressofle	ssione r	etta allo SLU
Dir	Pos	Nodo	N _{Ed}	M _{Ed}	As	Adf	CS	Nodo	N _{Ed}	M _{Ed}	As	A _{df}	CS	Nodo	N _{Ed}	M _{Ed}	As	A _{df}	CS
Eond	azione		[N]	[N·m]		[cm²/cm]			[N]	[N·m]	[cm²/cm]	[cm²/cm]			[N]	[N·m]	[cm²/cm]	[cm²/cm]	
P	S	00003	0	0	0,062 83	0,062 83	-	00004	0	0	0,062 83	0,062 83	-	00005	0	0	0,062 83	0,062 83	-
	I		1 423	1 530	0,062 83	0,062 83	74,7 8		1 135	1 358	0,062 83	0,062 83	84,3 0		-17	556	0,062 83	0,062 83	NS
S	S		0	0	0,062 83	0,062 83	-		0	0	0,062 83	0,062 83	-		0	0	0,062 83	0,062 83	-
	I		-494	7 195	0,062 83	0,062 83	15,9 6		-548	7 111	0,062 83	0,062 83	16,1 5		46	1 004	0,062 83	0,062 83	NS
Р	S	00006	0	0	0,062 83	0,062 83	-	00007	0	0	0,062 83	0,062 83	-	00008	0	0	0,062 83	0,062 83	-
	I		-6	661	0,062 83	0,062 83	NS		0	561	0,062 83	0,062 83	NS		0	561	0,062 83	0,062 83	NS
S	S		0	0	0,062 83	0,062 83	-		0	0	0,062 83	0,062 83	-		0	0	0,062 83	0,062 83	-
	I		49	1 150	0,062 83	0,062 83	99,7 6		0	750	0,062 83	0,062 83	NS		0	821	0,062 83	0,062 83	NS
Р	S	00009	0	0	0,062 83	0,062 83	-	00010	0	0	0,062 83	0,062 83	-	00011	0	0	0,062 83	0,062 83	-
	I		0	2 077	0,062 83	0,062 83	55,2 4		0	2 049	0,062 83	0,062 83	56,0 0		31	89	0,062 83	0,062 83	NS
S	S		0	23	0,062 83	0,062 83	NS		0	0	0,062 83	0,062 83	-		0	0	0,062 83	0,062 83	-
	I		0	0	0,062 83	0,062 83	-		0	176	0,062 83	0,062 83	NS		736	3 861	0,062 83	0,062 83	29,67
Р	S	00012	0	12	0,062	0,062	NS	00013	0	17	0,062	0,062	NS	00014	0	0	0,062	0,062	-

																			etta allo SLU
Dir	Pos	Nodo	N _{Ed}	M _{Ed} [N·m]	A _s	A _{df} [cm²/cm]	CS	Nodo	N _{Ed}	M _{Ed} [N·m]	A _s	A _{df} [cm²/cm]	CS	Nodo	N _{Ed} [N]	M _{Ed} [N·m]	A _s	A _{df} [cm²/cm]	CS
	I			982	83 0,062	83 0,062	NS				83 0,062	83 0,062	NS				83 0,062	83 0,062	00.51
			2	982	83	83	N5		4	873	83	83	NS		-2 599	1 303	83	83	88,51
S	S		0	0	0,062	0,062 83	-		-5	342	0,062 83	0,062 83	NS		-1 429	4 588	0,062	0,062	25,08
	I		0	0	0,062 83	0,062 83	-		0	0	0,062 83	0,062 83	-		-8	2 622	0,062 83	0,062 83	43,76
Р	S	00015	0	0	0,062 83	0,062 83	-	00016	0	0	0,062 83	0,062 83	-	00027	0	0	0,062 83	0,062 83	-
	I		213	875	0,062 83	0,062 83	NS		-1	328	0,062 83	0,062 83	NS		407	1 605	0,062 83	0,062 83	71,43
S	S		202	2 288	0,062 83	0,062 83	50,1 3		-3	559	0,062 83	0,062 83	NS		0	0	0,062 83	0,062 83	-
	I		1	1 027	0,062 83	0,062 83	NS		-3	399	0,062 83	0,062 83	NS		8	4 956	0,062 83	0,062 83	23,15
Р	S	00028	0	0	0,062 83	0,062 83	-	00029	0	0	0,062 83	0,062 83	-	00030	0	0	0,062 83	0,062 83	-
	I		432	1 940	0,062 83	0,062 83	59,0 9		-1	407	0,062 83	0,062 83	NS		215	1 021	0,062 83	0,062 83	NS
S	S		0	0	0,062 83	0,062 83	-		-3	562	0,062 83	0,062 83	NS		203	1 822	0,062 83	0,062 83	62,95
	I		1 174	4 989	0,062 83	0,062 83	22,9 4		-3	425	0,062 83	0,062 83	NS		1	1 141	0,062 83	0,062 83	NS
Р	S	00031	0	0	0,062 83	0,062 83	-	00032	99	89	0,062 83	0,062 83	NS	00033	0	0	0,062 83	0,062 83	-
	I		-2 640	1 303	0,062 83	0,062 83	88,5 2		100	57	0,062 83	0,062 83	NS		0	1 392	0,062 83	0,062 83	82,43
S	S		-1 369	4 710	0,062 83	0,062 83	24,4 3		0	0	0,062 83	0,062 83	-		0	0	0,062 83	0,062 83	-
	I		-10	2 611	0,062 83	0,062 83	43,9 4		722	4 282	0,062 83	0,062 83	26,7 6		0	823	0,062 83	0,062 83	NS
Р	S	00034	0	0	0,062 83	0,062 83	-	00035	0	0	0,062 83	0,062 83	-	00036	0	0	0,062 83	0,062 83	-
	I		111	605	0,062 83	0,062 83	NS		15	792	0,062 83	0,062 83	NS		0	1 339	0,062 83	0,062 83	85,69
S	S		0	0	0,062 83	0,062 83	-		0	0	0,062 83	0,062 83	-		0	0	0,062 83	0,062 83	-
	I		-19	1 837	0,062 83	0,062 83	62,4 6		1	1 634	0,062 83	0,062 83	70,2 2		0	673	0,062 83	0,062 83	NS
Р	S	00037	0	0	0,062 83	0,062 83	-	00038	0	0	0,062 83	0,062 83	-	00039	0	0	0,062 83	0,062 83	-
	I		1 443	1 372	0,062 83	0,062 83	83,3 9		835	1 526	0,062 83	0,062 83	75,0 6		185	918	0,062 83	0,062 83	NS
S	S		0	0	0,062 83	0,062 83	-		0	0	0,062 83	0,062 83	-		-411	4 472	0,062 83	0,062 83	25,68
	I		-1 259	7 278	0,062 83	0,062 83	15,8 0		-695	6 803	0,062 83	0,062 83	16,8 9		1	2 434	0,062 83	0,062 83	47,14
Р	S	00040	0	0	0,062 83	0,062 83	-	00041	0	0	0,062 83	0,062 83	-						
	I		-6	1 578	0,062 83	0,062 83	72,7 1		-7	1 587	0,062 83	0,062 83	72,3 0						
S	S		2	1 348	0,062 83	0,062 83	85,1 2		1	1 442	0,062 83	0,062 83	79,5 7						
	I		0	576	0,062 83	0,062 83	NS		0	680	0,062 83	0,062 83	NS						

Direzione [P] = principale (asse locale 1) - [S] = secondaria (asse locale 2). Posizione [S] = superiore - [I] = inferiore. Dir

Pos

 \mathbf{A}_{s} Area delle armature esecutive per unità di lunghezza.

 \mathbf{A}_{df} Armatura disponibile per la flessione

Coefficiente di sicurezza ([NS] = Non Significativo se CS ≥ 100; [VNR]= Verifica Non Richiesta; Informazioni aggiuntive sulla condizione: [V] = statica; [E] = CS

eccezionale; [S] = sismica; [N] = sismica non lineare).

 $N_{\text{Ed}},\,M_{\text{Ed}}$ Sollecitazioni di progetto.

Platee - VERIFICHE DELLE TENSIONI DI ESERCIZIO (Fondazione)

Platee - verifiche delle tensioni di esercizio

Nodo/	Dir		Cor	Compress mpressione	sione calces calcestruz)		Trazione acciaio Trazione acciaio/FRP rinforzo									
Tp _{rnf}	Jii	Id _{Cmb}	σ _{cc}	σ _{cd,amm}	N _{Ed}	M_{Ed}	cs	Verific ato	Id _{Cmb}	σ _{at}	σ td,amm	N _{Ed}	M_{Ed}	cs	Verific ato			
			[N/mm ²]	[N/mm ²]	[N]	[N·m]				[N/mm ²]	[N/mm ²]	[N]	[N·m]					
Fondazior	ne			Platea 1														
	D	RAR	0,021	14,94	-1 111	-1 039	NS	SI	RAR	0,341	360,00	-1 111	-1 039	NS	SI			
00037	Р	QPR	0,021	11,21	-1 111	-1 039	NS	SI	-	-	-	-	-	-	-			
00037	c	RAR	0,120	14,94	968	-5 377	NS	SI	RAR	1,568	360,00	968	-5 377	NS	SI			
	3	QPR	0,120	11,21	968	-5 377	93,31	SI	-	-	-	-	-	-	-			

LEGENDA:

Rinf. Indica la presenza del rinforzo sulla sezione di verifica.

Direzione [P] = principale (asse locale 1) - [S] = secondaria (asse locale 2). Dir

Platee - verifiche delle tensioni di esercizio

Nodo/ Tp _{rnf}	Dir		Co	Compression	sione calce e calcestru		0	Trazione acciaio Trazione acciaio/FRP rinforzo								
		Id _{Cmb}	σ_{cc}	σ _{cd,amm}	N _{Ed}	M _{Ed}	cs	Verific ato	Id _{Cmb}	σat	σ _{td,amm}	N _{Ed}	M _{Ed}	cs	Verific ato	
			[N/mm ²]	[N/mm²]	[N]	[N·m]				[N/mm ²]	[N/mm ²]	[N]	[N·m]			

Identificativo della Combinazione di Azione: [QPR] = Quasi Permanente - [FRQ] = Frequente - [RAR] = Rara.

 $\begin{array}{ll} \sigma_{cc} & \text{Tensione massima di compressione nel calcestruzzo della Trave/Rinforzo.} \\ \sigma_{cd,amm} & \text{Tensione ammissibile per la verifica a compressione del calcestruzzo.} \\ \sigma_{at} & \text{Tensione massima di trazione nell'acciaio della Trave/Rinforzo o nel FRP.} \\ \sigma_{td,amm} & \text{Tensione ammissibile per la verifica a trazione dell'acciaio/rinforzo.} \end{array}$

N_{Ed}, Sollecitazioni di progetto.

 M_{Ed}

CS Coefficiente di Sicurezza (= $\sigma_{cd, amm}/\sigma_{cc}$; $\sigma_{td, amm}/\sigma_{at}$). [NS] = Non Significativo (CS \geq 100).

 $\textbf{Verific} \hspace{0.5cm} [SI] = La \hspace{0.1cm} \text{verifica} \hspace{0.1cm} \grave{e} \hspace{0.1cm} \text{soddisfatta} \hspace{0.1cm} (\sigma_{cc} \leq \sigma_{cd,amm} ; \hspace{0.1cm} \sigma_{at} \leq \sigma_{td,amm}). \hspace{0.1cm} [NO] = La \hspace{0.1cm} \text{verifica} \hspace{0.1cm} \text{NON} \hspace{0.1cm} \grave{e} \hspace{0.1cm} \text{soddisfatta} \hspace{0.1cm} (\sigma_{cc} > \sigma_{cd,amm} ; \hspace{0.1cm} \sigma_{at} \leq \sigma_{td,amm}). \hspace{0.1cm} [NO] = La \hspace{0.1cm} \text{verifica} \hspace{0.1cm} \text{NON} \hspace{0.1cm} \grave{e} \hspace{0.1cm} \text{soddisfatta} \hspace{0.1cm} (\sigma_{cc} > \sigma_{cd,amm} ; \hspace{0.1cm} \sigma_{at} \leq \sigma_{td,amm}). \hspace{0.1cm} [NO] = La \hspace{0.1cm} \text{verifica} \hspace{0.1cm} \text{NON} \hspace{0.1cm} \grave{e} \hspace{0.1cm} \text{soddisfatta} \hspace{0.1cm} (\sigma_{cc} > \sigma_{cd,amm} ; \hspace{0.1cm} \sigma_{at} \leq \sigma_{td,amm}). \hspace{0.1cm} [SI] = La \hspace{0.1cm} \text{verifica} \hspace{0.1cm} \text{NON} \hspace{0.1cm} \grave{e} \hspace{0.1cm} \text{soddisfatta} \hspace{0.1cm} (\sigma_{cc} > \sigma_{cd,amm} ; \hspace{0.1cm} \sigma_{at} \leq \sigma_{td,amm}). \hspace{0.1cm} [SI] = La \hspace{0.1cm} \text{verifica} \hspace{0.1cm} \text{NON} \hspace{0.1cm} \grave{e} \hspace{0.1cm} \text{soddisfatta} \hspace{0.1cm} (\sigma_{cc} > \sigma_{cd,amm} ; \hspace{0.1cm} \sigma_{at} \leq \sigma_{td,amm}). \hspace{0.1cm} [SI] = La \hspace{0.1cm} \text{verifica} \hspace{0.1cm} \text{verifica} \hspace{0.1cm} \hat{e} \hspace{0.1cm} \text{soddisfatta} \hspace{0.1cm} (\sigma_{cc} < \sigma_{cd,amm} ; \hspace{0.1cm} \sigma_{at} \leq \sigma_{td,amm}). \hspace{0.1cm} [SI] = La \hspace{0.1cm} \text{verifica} \hspace{0.1cm} \text{verifica} \hspace{0.1cm} \hat{e} \hspace{0.1cm} \text{soddisfatta} \hspace{0.1cm} (\sigma_{cc} < \sigma_{cd,amm} ; \hspace{0.1cm} \sigma_{at} \leq \sigma_{td,amm}). \hspace{0.1cm} [SI] = La \hspace{0.1cm} \text{verifica} \hspace{0.1cm} \text{verifica} \hspace{0.1cm} \hat{e} \hspace{0.1cm} \text{soddisfatta} \hspace{0.1cm} (\sigma_{cc} < \sigma_{cd,amm} ; \hspace{0.1cm} \sigma_{at} \leq \sigma_{td,amm}). \hspace{0.1cm} [SI] = La \hspace{0.1cm} \text{verifica} \hspace{0.1cm} \text{ver$

ato

Nota Nella tabella, per ogni elemento, viene riportato il nodo della shell che ha il coefficiente di sicurezza (CS) più piccolo.

Platee - VERIFICA ALLO STATO LIMITE DI FESSURAZIONE (Fondazione)

Platee - verifica allo stato limite di fessurazion															
Nodo	Dir	Id _{Cmb}	N _{Ed}	M _{Ed}	σ ct,f	σt	€ sm	Ae	Δ_{sm}	Wd	W _{amm}	cs	Verificat o		
			[N]	[N·m]	[N/mm ²]	[N/mm ²]		[cm ²]	[mm]	[mm]	[mm]				
Fondazione	•		Platea 1			A/	N= PCA								
NOTA: L'ele	NOTA: L'elemento NON è fessurato. Di seguito si riporta il nodo strutturale per la quale si riscontra la massima tensione di trazione(max σ _{ct.f})														
00037	D	FRQ	-1 111	-1 039	0,02	2,13	0 E+00	0	0	0,000	0,400	-	SI		
	r	QPR	-1 111	-1 039	0,02	2,13	0 E+00	0	0	0,000	0,300	-	SI		
		FRQ	968	-5 377	0,12	2,13	0 E+00	0	0	0,000	0,400	-	SI		
	3	QPR	968	-5 377	0,12	2,13	0 E+00	0	0	0,000	0,300	-	SI		

LEGENDA:

Dir Direzione [P] = principale (asse locale 1) - [S] = secondaria (asse locale 2).

AA Identificativo dell'aggressività dell'ambiente: [PCA] = Ordinarie (Poco aggressivo) - [MDA] = Aggressive (Moderatamente aggressivo) - [MLA] = Molto aggressive.

Identificativo della Combinazione di Azione: [QPR] = Quasi Permanente - [FRQ] = Frequente - [RAR] = Rara.

N_{Ed}, M_{Ed} Sollecitazioni di progetto.

σ_{ct,f} Tensione massima di trazione nel calcestruzzo per la fessurazione, calcolata nell'ipotesi di calcestruzzo resistente a trazione. Se tale valore è maggiore di σ_t la sezione è soggetta a fessurazione.

N.B. I valori negativi indicano una sezione interamente compressa. In tal caso le sollecitazioni forniscono il minimo valore di compressione.

Tensione massima di trazione nel calcestruzzo relativa allo stato limite di formazione delle fessure [relazione (4.1.37) del § 4.1.2.2.4.1 del DM 2008].

 ϵ_{sm} Deformazione media nel calcestruzzo. A_e Area efficace del calcestruzzo teso. Δ_{sm} Distanza media tra le fessure.

W_d Valore di calcolo di apertura massima delle fessure.W_{amm} Valore ammissibile di apertura delle fessure.

CS Coefficiente di Sicurezza (= W_d/W_{amm}). [NS] = Non Significativo (CS \geq 100). [-] = Fessurazioni nulle ($W_d = 0$).

Verificato $[SI] = W_d \le W_{amm}$; $[NO] = W_d > W_{amm}$

VERIFICHE CARICO LIMITE FONDAZIONI DIRETTE ALLO SLU (Fondazione)

Verifiche Carico Limite fondazioni dirette allo SLU

I d _{Fnd}	cs	Lx	1	D+-	7-	7	Cmp T			C. Terza	ghi			0	0	D.
I UFnd	C3	LX	Ly	Rtz	Z _{P.cmp}	ZFId	Citip i	per N _q	per N _c	per N _y	Nq	Nc	Nγ	Q _{Ed}	Q _{Rd}	Ιζf
		[m]	[m]	[°]	[m]	[m]								[N/mm ²]	[N/mm ²]	
Platea 1	0,93	2,65	1,00	90,00	-	-	-	-	-	-	-	-	-	0,102	0,095	NO
		•	,	,												

LEGENDA:

Id_{Fnd} Descrizione dell'oggetto di fondazione al quale è riferita la verifica.

CS Coefficiente di sicurezza ([NS] = Non Significativo se CS ≥ 100; [VNR]= Verifica Non Richiesta; Informazioni aggiuntive sulla condizione: [V] = statica; [E] =

eccezionale; [S] = sismica; [N] = sismica non lineare).

L_{X/Y} Dimensioni dell'elemento di fondazione.

Rtz Angolo compreso tra l'asse X e il lato più lungo del minimo rettangolo che delimita il poligono della platea.

Z_{P.cmp} Profondità di posa dell'elemento di fondazione dal piano campagna.

Z_{Fld} Profondità della falda dal piano campagna.

Cmp T Classificazione del comportamento del terreno ai fini del calcolo.

C. Coefficienti correttivi per la formula di Terzaghi.

Terzaghi

Q_{Ed} Carico di progetto sul terreno.Q_{Rd} Resistenza di progetto del terreno.

 R_f [SI] = elemento con presenza di rinforzo; [NO] = elemento senza rinforzo.

VERIFICHE CARICO LIMITE FONDAZIONI DIRETTE ALLO SLD (Fondazione)

								_		Verit	fiche Ca	rico Lim	ite fonc	lazioni dii	ette allo	SLD
14	cs			Rtz	7	Z _{Fld}	Cmp T			C. Terza	ighi				Q_{Rd}	В
I d _{Fnd}		L _X	Ly	RIZ	Z _{P.cmp}		Citip i	per N _q	per N _c	per N _γ	N_q	N _c	Nγ	Q _{Ed}		R _f
		[m]	[m]	[°]	[m]	[m]								[N/mm ²]	[N/mm ²]	
Platea 1	1,17	2,65	1,00	90,00	-	-	-	-	-	-	-	-	-	0,070	0,082	NO

LEGENDA:

Id_{Fnd} Descrizione dell'oggetto di fondazione al quale è riferita la verifica.

CS Coefficiente di sicurezza ([NS] = Non Significativo se CS ≥ 100; [VNR]= Verifica Non Richiesta; Informazioni aggiuntive sulla condizione: [V] = statica; [E] = eccezionale; [S] = sismica; [N] = sismica non lineare).

Verifiche Carico Limite fondazioni dirette allo SLD

ld.	CE	1	1	D+-	7-	7	Cmp T		C. Terzaghi					0	0	D.
I CIFnd	CS	LX	LY	Rtz	Z _{P.cmp}	ZFId	Cilip i	per N _q	per N _c	per N _γ	Nq	Nc	Nγ	QEd	Q _{Rd}	Rf
		[m]	[m]	[°]	[m]	[m]								[N/mm ²]	[N/mm ²]	

Dimensioni dell'elemento di fondazione.
Angolo compreso tra l'asse X e il lato più lungo del minimo rettangolo che delimita il poligono della platea.
Profondità di posa dell'elemento di fondazione dal piano campagna.
Profondità della falda dal piano campagna.
Classificazione del comportamento del terreno ai fini del calcolo.
Coefficienti correttivi per la formula di Terzaghi. L_{X/Y} Rtz

ZP.cmp

 $\boldsymbol{Z}_{\text{Fld}}$

Cmp T

Terzaghi

Carico di progetto sul terreno. \mathbf{Q}_{Ed} \mathbf{Q}_{Rd}

Resistenza di progetto del terreno. [SI] = elemento con presenza di rinforzo; [NO] = elemento senza rinforzo. $\boldsymbol{R}_{\boldsymbol{f}}$